

Modeliranje promjene boje čajnog peciva tijekom pečenja

Ivić, Ivana

Master's thesis / Diplomski rad

2014

Degree Grantor / Ustanova koja je dodijelila akademski / stručni stupanj: **Josip Juraj Strossmayer University of Osijek, FACULTY OF FOOD TECHNOLOGY / Sveučilište Josipa Jurja Strossmayera u Osijeku, Prehrambeno-tehnološki fakultet Osijek**

Permanent link / Trajna poveznica: <https://urn.nsk.hr/urn:nbn:hr:109:583305>

Rights / Prava: [In copyright/Zaštićeno autorskim pravom.](#)

Download date / Datum preuzimanja: **2024-05-20**

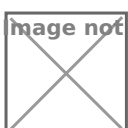


Image not found or type unknown

Repository / Repozitorij:

[Repository of the Faculty of Food Technology Osijek](#)



zir.nsk.hr



Image not found or type unknown



SVEUČILIŠTE JOSIPA JURJA STROSSMAYERA U OSIJEKU
PREHRAMBENO-TEHNOLOŠKI FAKULTET OSIJEK

Ivana Ivić

**MODELIRANJE PROMJENE BOJE ČAJNOG PECIVA
TIJEKOM PEČENJA**

DIPLOMSKI RAD

Osijek, srpanj, 2014.

TEMELJNA DOKUMENTACIJSKA KARTICA

DIPLOMSKI RAD

Sveučilište Josipa Jurja Strossmayera u Osijeku
Prehrambeno-tehnološki fakultet Osijek
Zavod za procesno inženjerstvo
Katedra za modeliranje, optimiranje i automatizaciju
Franje Kuhača 20, 31000 Osijek, Hrvatska

Znanstveno područje: Biotehničke znanosti

Znanstveno polje: Prehrambena tehnologija

Nastavni predmet: Modeliranje i upravljanje u prehrambeno-tehnološkim procesima

Tema rada je prihvaćena na IX. sjednici Fakultetskog vijeća Prehrambeno-tehnološkog fakulteta Osijek održanoj 18.06.2014.

Mentor: dr. sc. Jasmina Lukinac Čačić, doc.

Komentor: dr. sc. Daliborka Koceva Komlenić, izv. prof.

MODELIRANJE PROMJENE BOJE ČAJNOG PECIVA TIJEKOM PEČENJA

Ivana Ivić, 178-DI

Sažetak:

Cilj diplomskog rada bio je modeliranje promjene boje čajnog peciva tijekom 10 minuta pečenja na 205 °C. Uzorci su proizvedeni u laboratorijskim uvjetima od različitih tipova pšeničnog brašna. Od svakog tipa brašna napravljene su tri vrste zamjesa (standardni, suhi i vlažni) koji se razlikuju po udjelu vode. Svaki uzorak je skeniran, slike obrađene računalnom analizom slike pomoću programa *ImageJ*. Dobiveni rezultati ukupne promjene boje čajnog peciva prikazani su grafički, rezultati svjetline tablično te su korišteni za određivanje kinetičkih parametara kod modela reakcija nultog, prvog i drugog reda.

Iz rezultata je vidljivo da tijekom pečenja dolazi do tamnjjenja čajnog peciva (uslijed Maillardovih reakcija i karamelizacije), što vrijedi za sve tri vrste zamjesa (vrijednosti ukupne promjene boje u 10. minuti pečenja iznosile su: referentno brašno: 23,56; cjelovito: 6,99; T-400: 23,29; T-550: 17,49; T-850: 12,34; T-1100: 12,97). Iznimka je čajno pecivo od cjelovitog brašna kod kojeg je očitano smanjenje ukupne promjene boje pri kraju procesa pečenja (vrijednost ukupne promjene boje u 0. minuti bila je 3,05, u 5. minuti 7,54, a u 10. minuti 6,99). Uspoređujući sve rezultate ukupne promjene boje, uzorci s manjim udjelom vode (suhi zamjes) imali su najmanju ukupnu promjenu boje. Nakon provedenog modeliranja, promjena boje čajnog peciva od cjelovitog brašna, te brašna tipa T-1100 i T-850 najbolje je opisana matematičkim modelom drugog reda linearog oblika, a od brašna tipa T-400 i referentnog brašna matematičkim modelom nultog reda. Kod uzorka čajnog peciva od brašna tipa T-550 promjenu boje najbolje opisuje model dugog reda linearog oblika, odnosno, nultog reda.

Ključne riječi: pšenično brašno, čajno pecivo, boja, računalna analiza slike, kinetički modeli

Rad sadrži: 43 stranica

19 slika

12 tablica

14 literaturnih referenci

Jezik izvornika: hrvatski

Sastav Povjerenstva za obranu:

1. dr. sc. Frane Čačić Kenjerić, doc.
2. dr. sc. Jasmina Lukinac Čačić, doc.
3. dr. sc. Daliborka Koceva Komlenić, izv. prof.
4. dr. sc. Marko Jukić, izv. prof.

predsjednik

član-mentor

član-komentor

zamjena člana

Datum obrane: 22. srpanj, 2014.

Rad je u tiskanom i elektroničkom (pdf format) obliku pohranjen u Knjižnici Prehrambeno-tehnološkog fakulteta Osijek, Franje Kuhača 20, Osijek.

BASIC DOCUMENTATION CARD

GRADUATE THESIS

University Josip Juraj Strossmayer in Osijek
Faculty of Food Technology Osijek
Department of Process Engineering
Subdepartment of modeling,optimization and automation
Franje Kuhača 20, HR-31000 Osijek, Croatia

Scientific area: Biotechnical sciences
Scientific field: Food technology
Course title: Modeling and management in food technology processes
Thesis subject: was approved by the Faculty Council of the Faculty of Food Technology at its session no. IX held on June 18, 2014.
Mentor: Jasmina Lukinac Čačić, PhD, assistant prof.
Co-supervisor: Daliborka Koceva Komlenić, PhD, associate prof.

MODELING OF COOKIES BROWNING KINETICS DURING BAKING

Ivana Ivić, 178-DI

Summary:

The aim of this thesis was modeling the change of color of tea cookies during 10 minutes of baking at 205 °C. Samples were made in laboratory conditions, from different types of wheat flour. Each type of flour was used to make three types of mixing (standard, dry and wet) that differ in amount of water. Each sample was scanned, the images were analysed with digital image analysis using program called *ImageJ*. Obtained results of total color change were displayed graphically, results of lightness in a table and they were used to determine kinetics parameters for models of reactions of zero, first and second order. According to the results, the cookies were started to darken during baking (due to Maillard's reactions and caramelization) and it could be applied for all types of mixing (the value of total color change at the 10. minute of baking were: standard flour: 23.56; integral: 6.99; T-400: 23.29; T-550: 17.49; T-850: 12.34; T-1100: 12.97). The cookies from integral flour were an exception, where the total color change was decreasing at the end of baking process (value of total color change at zero minute was 3.05, at 5. minute 7.54, and at 10. minute 6.99). Comparing all the results of total color change, the samples with the lowest amount of water (the dry mixing) had the lowest value of total color change. After performed modelling, the change of color of cookies made from integral flour and flour T-1100 and T-850 were best described with mathematical models of second order linear form, and cookies from flour T-400 and standard with mathematical models of zero order. The color change of samples of cookies made from flour T-550 was best described with the model of second order linear form or with model of zero order.

Key words: wheat flour, tea cookies, color, digital image analysis, kinetics models

Thesis contains:
43 pages
19 figures
12 tables
14 references

Original in: Croatian

Defense committee:

- | | |
|--|---------------|
| 1. Frane Čačić Kenjerić, PhD, assistant prof. | chair person |
| 2. Jasmina Lukinac Čačić, PhD, assistant prof. | supervisor |
| 3. Daliborka Koceva Komlenić, PhD, associate prof. | Co-supervisor |
| 4. Marko Jukić, PhD, associate prof. | stand-in |

Defense date: July, 22nd 2014

Printed and electronic (pdf format) version of thesis is deposited in Library of the Faculty of Food Technology Osijek, Franje Kuhača 20, Osijek.

SADRŽAJ

| | |
|---|----|
| 1. Uvod | 1 |
| 2. Teorijski dio | 3 |
| 2.1. Boja | 4 |
| 2.2. Prostor boja | 6 |
| 2.2.1. RGB prostor boja..... | 6 |
| 2.2.2. CIEL ^{a*b*} prostor boja | 7 |
| 2.3. Razvoj boje na površini čajnog peciva | 8 |
| 2.4. Određivanje boje proizvoda..... | 8 |
| 2.5. Sustav za računalnu analizu slike | 9 |
| 2.5.1. Rasvjeta..... | 9 |
| 2.5.2. Skener | 9 |
| 2.5.3. Računalo | 9 |
| 2.6. <i>ImageJ</i> | 10 |
| 3. EKSPERIMENTALNI DIO | 13 |
| 3.1. ZADATAK..... | 14 |
| 3.2. Materijali i metode | 14 |
| 3.2.1. Materijali | 14 |
| 3.2.2. Proces proizvodnje čajnog peciva..... | 15 |
| 3.2.3. Mjerenje temperature unutar keksa i pećnice | 16 |
| 3.2.4. Ispitivanje boje čajnog peciva..... | 16 |
| 3.2.5. Modeliranje kinetike promjene boje čajnog peciva tijekom pečenja | 17 |
| 4. REZULTATI I RASPRAVA | 18 |
| 4.1. REZULTATI ODREĐIVANJA BOJE ČAJNOG PECIVA (površina čajnog peciva) | 19 |
| 4.2. REZULTATI ODREĐIVANJA BOJE ČAJNOG PECIVA (donji dio čajnog peciva) | 26 |
| 4.3. Modeliranje kinetike promjene boje čajnog peciva tijekom pečenja | 33 |
| 5. ZAKLJUČCI | 39 |
| 6. LITERATURA | 42 |

POPIS OZNAKA, KRATICA I SIMBOLA

| | |
|------------------------------|--|
| AACC | Approved methods of the American Association of Cereal Chemists |
| D | Suhi zamjes (12 g vode na 225 g brašna) |
| S | Standardni zamjes (16 g vode na 225 g brašna) |
| W | Vlažni zamjes (20 g vode na 225 g brašna) |
| ΔE | Ukupna promjena boje |
| CVS | računalni vid (eng. <i>Computer Vision System</i>) |
| L^* | Parametar CIEL a^*b^* prostora boje - svjetlina (eng. <i>lightness</i>) |
| R | Koeficijent korelacije, statistički parametar |
| RMSE | Srednje kvadratno odstupanje, statistički parametar |
| OL | Reakcija promjene boje nultog reda |
| 1NL | Reakcija promjene boje prvog reda; nelinearni oblik |
| 1L | Reakcija promjene boje prvog reda; linearни oblik |
| 2NL | Reakcija promjene boje drugog reda; nelinearni oblik |
| 2L | Reakcija promjene boje drugog reda; linearni oblik |
| k | Konstanta brzine reakcije |

1. UVOD

Vanjski izgled najuočljivije je svojstvo kvalitete čajnog peciva. Što je boja čajnog peciva ujednačenija, a oblik pravilniji, to će proizvod biti bolje prihvaćen od strane potrošača. Tijekom pečenja čajnog peciva dolazi do stvaranja boje na površini te je potrebno podesiti parametre procesa kako bi se postigla poželjna smeđa boja.

Smeđa boja čajnog peciva potječe od melanoidina (netopivog smeđeg pigmenta) i karamela koji su produkti reakcija neenzimskog posmeđivanja (Maillardovih reakcija i karamelizacije). U ovim reakcijama mogu nastati i nepoželjni produkti s potencijalnim mutagenom djelovanjem (akrilamid, AA; hidroksimetilfurfural, HMF; furfural), a dolazi i do gubitka nutritivne vrijednosti proizvoda. Tijekom pečenja čajnog peciva, prvo dolazi do promjene boje od svjetlo žute (nastanak dekstrina) do smeđe (produkti Maillardovih reakcija i karamelizacija), a daljnjim povećanjem temperature dolazi do izgaranja i nastanka crne porozne mase ([Lukinac Čačić, 2012.](#)).

Prema Pravilniku o keksima i keksima srodnim proizvodima ([NN br. 73, 2005.](#)), ovi proizvodi se definiraju kao proizvodi određenih prehrambenih i senzorskih svojstava, dobiveni od mlinskih proizvoda, vode, masnoća, šećera, škroba te drugih sirovina i aditiva, tehnološkim postupcima miješanja, gnjetenja, tučenja, oblikovanja, pečenja i drugim postupcima. Razvoj boje keksa i keksu srodnih proizvoda, pa tako i čajnog peciva ovisit će, s jedne strane, o sastavu tjesteta, odnosno tipu upotrebljenog brašna, udjelu i aktivitetu vode, udjelu šećera, pH vrijedenosti i dr. Različiti tipovi brašna imaju različitu boju (od bijele do žute ili čak svjetlo smeđe) te različitu kvalitetu glutena, što utječe na narastanje tjesteta, oblik i površinu gotovog proizvoda. S druge strane, brzina razvoja boje čajnog peciva varira ovisno o procesnim uvjetima tijekom pečenja (temperatura, vrijeme pečenja) koje je potrebno optimirati kako bi se postigla odgovarajuća boja proizvoda.

Iz tog razloga razvile su se različite metode određivanja i kontroliranja razvoja boje čajnog peciva tijekom pečenja. U početku (u nekim industrijama i danas) senzorske analize provodili su za to obučeni stručnjaci, ali rezultati dobiveni takvom metodom većinom su subjektivni i nepouzdani. U novije vrijeme, u želji da se dobiju što objektivniji i točniji podaci, dolazi do razvoja metoda koje se baziraju na računalnim analizama slike ([Du i Sun, 2004.](#)).

U ovom radu prikazana je metoda određivanja promjene boje čajnog peciva računalnom analizom slike te modeliranje promjene boje čajnog peciva tijekom pečenja. Uzorci su pripravljeni s različitim udjelima vode (tri vrste zamjesa: standardni, suhi, vlažni) te različitim tipom brašna (T-400, T-550, cjelovito, T-850 i T-1100).

2. TEORIJSKI DIO

2.1. BOJA

Osjet boje predstavlja psihofizički doživljaj koji ovisi o izvoru svjetla, psihološkim i fiziološkim uvjetima promatrača i karakteristikama objekta koji se promatra. Često je boja svojstvo prehrambenih proizvoda koje se prvo uočava i direktno pretvara u pozitivan ili negativan predznak ukupne kvalitete proizvoda. Doživljaj boje ovisan je o tri faktora:

- ✓ spektralnom sastavu svjetla koje pada na promatrani predmet,
- ✓ molekularnoj strukturi materijala s kojeg se svjetlo reflektira ili koje ga propušta i
- ✓ čovjekovim osjetom boje, kroz oči i mozak ([Lukinac Čačić, 2012.](#)).

Boja može i ne mora biti direktno povezana sa nutritivnom vrijednošću i zdravstvenom ispravnošću proizvoda, no u nekim slučajevima promjena boje označava pojavu kvarenja, nastanak poželjnih ili nepoželjnih promjena tijekom procesiranja ili skladištenja. Kod voća se promjena boje može pojaviti kao posljedica zrenja.

Osvijetljeni objekt može ukupnu svjetlost ili dio ukupne svjetlosti koja je pala na njegovu površinu, reflektirati, apsorbirati ili propustiti, ovisno o njegovoj prirodi, geometriji i površini. U praksi je ta svjetlost ograničena na dio spektra koji je vidljiv ljudskom oku, tj. na elektromagnetne valove duljine vala 380 - 770 nm ([Hsien-Che, 2005.](#); [Pomeranz i Meloan, 1994.](#)).

Boje se mogu definirati svojim uobičajenim imenima, no postoje tri atributa koji uže definiraju svaku boju:

- ✓ ton boje ili tonalnost boje (engl. *hue*),
- ✓ zasićenost ili saturacija (engl. *saturation*),
- ✓ svjetlina ili luminancija (engl. *lightness*).

Ton boje označava vrstu boje. Definira se kao kromatska kvaliteta boje, odnosno kvaliteta kojom se jedna boja razlikuje od druge. Ton može poprimiti vrijednosti od 0° do 360° koji određuju položaj boje na kružnoj paleti boja. Crvena boja se nalazi na 0° (ili 360°), zelena na 120° , a plava na 240° . Da bi se objasnili pojmovi zasićenost i svjetlina, najprije je potrebno boje podijeliti u dvije osnovne skupine. U prvoj skupini nalaze se prave boje, odnosno kromatske boje kao što su crvena, narančasta, žuta, zelena, plava itd., a prikazane su na **slici 2.1**.



Slika 2.1 Kromatske boje

U drugoj skupini nalaze se crna, siva i bijela, koje se nazivaju akromatskim bojama (nebojama) i čine skalu koja seže od crne, preko sive, do bijele (**slika 2.2**).



Slika 2.2 Akromatske boje

Svjetlina je osobina kromatske boje koja je usporediva sa svjetlinom sive akromatske boje. Svjetlina se također izražava u postocima, pa tako vrijednost 0% će dati crnu, a 100% bijelu boju. **Slika 2.3** prikazuje svjetlinu boje.



Slika 2.3 Svjetlina boje

Zasićenost boje (engl. *saturation*) je stupanj čistocene boje, određen udjelom akromatskih boja (crna, siva, bijela) u kromatskim bojama (crvena, narančasta, žuta, zelena, itd.). Zasićenost se izražava u postocima. Na **slici 2.4** može se vidjeti da vrijednost 0% daje sivu boju, a 100% čistu boju ([Lukinac Čačić, 2012.](#)).



Slika 2.4 Zasićenost boje

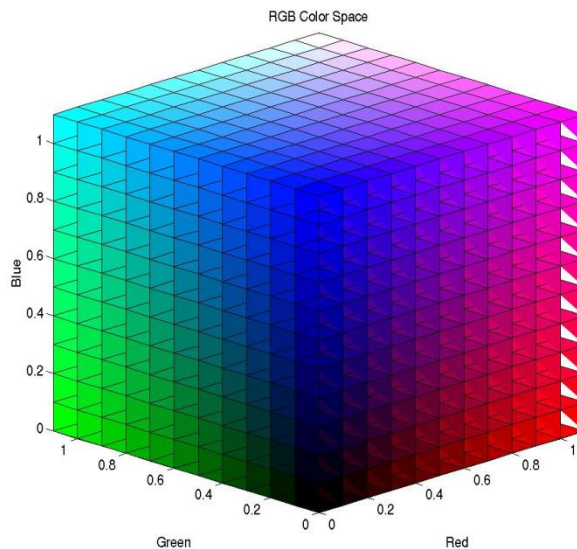
2.2. PROSTOR BOJA

Prostor boja ili model boja je način pomoću kojeg se definiraju, stvaraju i vizualiziraju boje. Osnovna podjela prostora boja je na:

- ✓ aditivni prostor boja, ovisan o uređaju, kod kojeg se boja dobiva zbrajanjem pojedinih komponenti (npr. RGB)
- ✓ subtraktivni prostor boja, neovisan o uređaju, kod kojeg se boja dobiva oduzimanjem pojedinih komponenti (npr. CIEL *a*b*).

2.2.1. RGB PROSTOR BOJA

RGB prostor boja definiran je pomoću tri aditivna primara: crvene, zelene i plave boje. Svaka boja u tom prostoru nastaje zbrajanjem pojedinih komponenti te tri boje. RGB model predstavljen je pomoću kocke, gdje crvena boja predstavlja x-os, zelena boja y-os, a plava boja z-os ([Puglia, 2000.](#)).

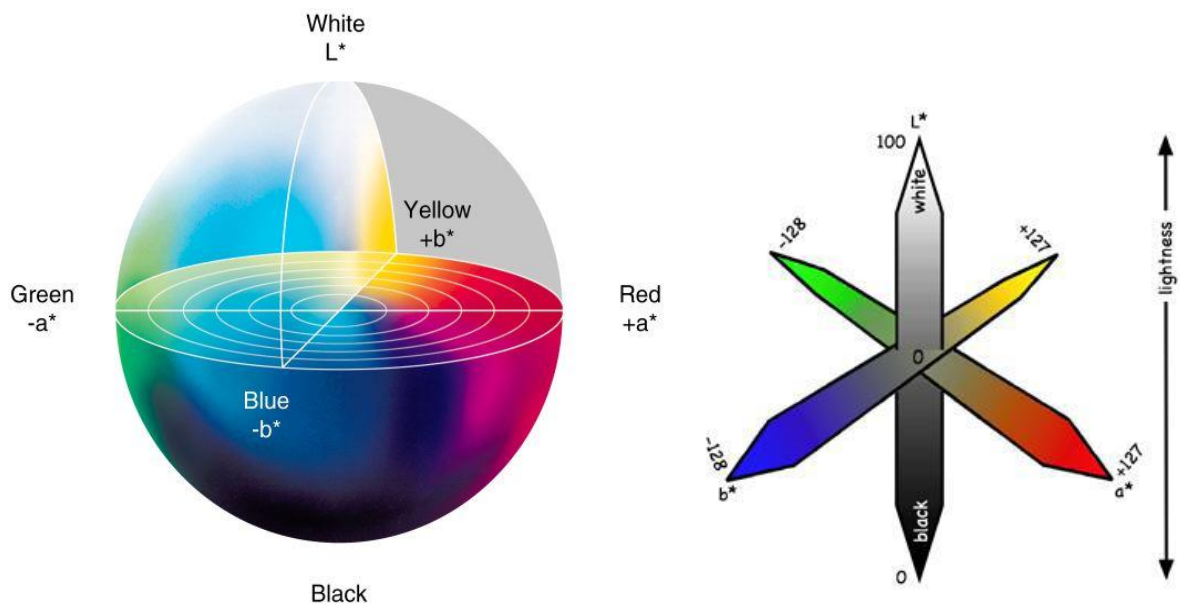


| | | | | | |
|---------------------|-----------------------|-------------------------|-------------------------|-------------------------|-------------------|
| R=255 G=0 B=0 | R=240 G=20 B=50 | R=100 G=100 B=100 | R=170 G=170 B=170 | R=255 G=255 B=255 | R=0 G=0 B=0 |
|---------------------|-----------------------|-------------------------|-------------------------|-------------------------|-------------------|

Slika 2.5 RGB prostor boja

2.2.2. CIE $L^*a^*b^*$ PROSTOR BOJA

CIE $L^*a^*b^*$ prostor boja je trodimenzionalni prostor boja baziran na percepciji boje standardnog promatrača. Prednost ovog sustava je i uvođenje svjetline kao treće dimenzije. Numeričke vrijednosti u CIE $L^*a^*b^*$ sustavu opisuju sve boje koje može razlikovati ljudsko oko. CIE $L^*a^*b^*$ sustavu boje su opisane pomoću tri osi: dvije kromatske, a^* komponenta odnos između crvene i zelene boje (negativne vrijednosti označavaju zelenu, a pozitivne crvenu), a b^* komponenta odnos između žute i plave boje (negativne vrijednosti za plavu, a pozitivne za žutu). L^* komponenta određuje svjetlinu, akromatska os mjeri se od 0 do 100 po vertikalnoj osi, gdje je 0 vrijednost za crnu, a 100 za bijelu, što je prikazano na [slici 2.6.](#) (Yam i Papadakis, 2004.; Hsien-Che, 2005.).



Slika 2.6 Prikaz CIE $L^*a^*b^*$ prostora boja

2.3. RAZVOJ BOJE NA POVRŠINI ČAJNOG PECIVA

Tijekom pečenja na površini čajnog peciva dolazi do nastanka poželjne smeđe boje koja je rezultat toplinskih procesa u tijestu kao što su neenzimsko posmeđivanje (Maillardove reakcije između šećera i proteina te karamelizacija, proces degradacije šećera uslijed djelovanja povišene temperature), želatinizacija škroba, denaturacija proteina itd. Smeđa boja potječe i od netopivog smeđeg pigmenta melanoidina.

U procesu pečenja, temperatura na površini neprekidno raste i prvo dolazi do stvaranja tanke i elastične kore koja sprječava brže prodiranje topline do sredine tijesta. Kada temperatura dostigne 100 °C počinje isparavanje vode. Povišena temperatura i nizak udio vode utječu na stvaranje najprije svijetlih, žutih dekstrina, a zatim dolazi do stvaranja smeđe boje kao rezultat karamelizacije i Maillardovih reakcija. Dalnjim povećanjem temperature doći će do nastanka nepoželjne crne porozne mase. Maksimalna brzina razvoja boje na površini proizvoda događa se pri vrijednostima aktiviteta vode 0,7 – 0,8 i temperaturi iznad 120 °C ([Purlis i Salvadori, 2009.c; Capuano i sur., 2008.](#)).

Maillardove reakcije su reakcije između reducirajućih šećera i proteina u kojoj osim razvoja arome i boje (poželjna svojstva), mogu nastati i nepoželjni produkti poput hidroksimetilfurfurala, HMF i akrilamida, AA, sa potencijalnim mutagenim djelovanjem ([Martins i sur., 2001.](#)).

2.4. ODREĐIVANJE BOJE PROIZVODA

Boja čajnog peciva prvo je što potrošač primijeti prilikom odabira te je glavni cilj proizvođača dobiti proizvod koji će imati odgovarajuću i što ujednačeniju boju. Iz tog razloga razvile su se brojne metode određivanja boje na osnovu kojih bi se mogao kontrolirati proces pečenja kako bi se taj cilj postigao. Razlikuju se direktnе metode, usmjerene na kvantitativno praćenje produkata Maillardovih reakcija i karamelizacije, i indirektnе, zasnovane na principu mjerjenja reflektirane količine svjetlosti s površine analiziranog uzorka različitim mjernim uređajima. Glavni nedostatak mjernih uređaja je ograničenje u veličini i geometriji uzorka koji se ispituje, što je dosta neprikladno kod heterogenih uzoraka. Međutim, u novije vrijeme razvio se sustav za računalnu analizu slike koja može obuhvatiti cijelokupnu površinu uzorka dajući tako objektivnije i točnije rezultate ([Pletney, 2007.; Zhang i sur., 2007.; Magdić i sur., 2009.](#)).

2.5. SUSTAV ZA RAČUNALNU ANALIZU SLIKE

Boja površine uzorka primjenom računalne analize slike (engl. *Digital image analysis*, DIA) određuje se beskontaktno. Primjenom odgovarajućih računalnih algoritama moguće je dobiti vrlo točne i pouzdane informacije o promjeni boje proizvoda koje nastaju tijekom proizvodnje. Ova metoda za praćenje boje može se koristiti kao alat za automatsko vođenje procesa u industriji (za vizualni pregled procesa proizvodnje) te time poboljšati ukupnu kvalitetu proizvoda. Prednost sustava za analizu slike, nad praćenjem boje ljudskim okom je objektivnost i kontinuiranost u procjeni boje. Sustav za analizu slike boju uzorka registrira s tri senzora boje, a sastoji se od tri najvažnija elementa: rasvjete, skenera i računala ([Lukinac Čačić, 2012.](#)).

2.5.1. RASVJETA

Izvor svjetlosti je fizički realizirano zračenje (svijeća, lampa, sunce) kojeg karakteriziraju svojstva poput spektralnog zračenja i temperature boje svjetlosti. Različiti izvori svjetla imaju i različitu raspodjelu relativne energije zračenja. Osvijetljeni objekti prenose primljenu svjetlost apsorpcijom, refleksijom i propuštanjem, te se razlika boja pojedinih uzoraka prati određivanjem razlike u količini reflektirane svjetlosti s njegove površine. Kut između osi objektiva i izvora svjetlosti koji obasjava uzorak trebao bi biti oko 45° ([Yam i sur., 2004.](#)).

2.5.2. SKENER

Slike uzoraka čajnog peciva mogu se dobiti skeniranjem svakog pojedinog uzorka pomoću skenera. Princip rada skenera zasniva se na pretvorbi svjetlosti, koja se odbije od predmeta skeniranja u električne impulse. Slika koja se želi unijeti u računalo osvjetljava se ugrađenim izvorom svjetlosti. Zrake svjetlosti koje se odbiju o predmet usmjeravaju se sustavom leća i ogledala prema senzorima svjetlosti za pretvorbu u električnu struju. Slika se pri tom postupku dijeli u točke i što je više tih točaka, to će slika biti veće kvalitete. Broj očitanih točaka naziva se razlučivost ili rezolucija.

2.5.3. RAČUNALO

Slike dobivene skeniranjem uzoraka čajnog peciva mogu se obraditi u raznim programima. Jedan od njih je i *ImageJ 1.43u* (Wayne Rasband, National Institute of Health, USA).

2.6. *ImageJ*

ImageJ je program za analizu slike u kojem je moguće prikazati, uređiti, analizirati, spremiti i printati slike od 8, 16 i 32 bita. U programu je moguće izračunati područje i vrijednost piksela, izmjeriti udaljenosti i kutove, a sadrži i opcije za podešavanje kontrasta, izoštravanje, poravnavanje i dr. Naredba za analiziranje šupljina („*Analyze Particles*“) mjeri objekte u binarnim ili „*threshold*“ slikama, a radi na principu skeniranja slike sve dok se ne pronađe rub objekta. „*Threshold*“ odnosno primjena razdjelne vrijednosti je najjednostavnija metoda podjele slike u segmente, koja se bazira na pretvorbi slike sa različitim nijansama boja u binarnu sliku. Nakon toga, u izborniku se može odabratи raspon za veličinu i okruglost šupljina koja će se uzeti u obzir, pri čemu će sve izvan tog raspona biti zanemareno. Formula za okruglost je:

- (raspon: 0 – 1; vrijednost 1 predstavlja savršen krug)

A – površina označenog objekta na slici (eng. *area*)

P – promjer (eng. *perimeter*)

Kada se odabere opcija za prikaz rezultata, moguće je očitati sljedeće vrijednosti:

1. broj šupljina (eng. *particle count*)
2. ukupnu površinu koju čine šupljine (eng. *total particle area*)
3. prosječnu veličinu šupljina (eng. *average particle size*)
4. udio selektiranih šupljina na slici (eng. *area fraction*).

Kod programa za provedbu računalne analize boje čajnog peciva u *ImageJ-u*:

```

requires("1.33n");
dir = getDirectory("Choose a Directory ");
list = getFileList(dir);
run("Set Measurements...",
    " mean display redirect=None decimal=3");
roi = "";
start = getTime();
titles = newArray(list.length);
run("Clear Results");
setBatchMode(true); // runs up to 20 times faster
j = 0;
for (i=0; i<list.length; i++) {
    path = dir+list[i];
    if (endsWith(path, ".roi"))
        roi = path;
    else {
        open(path);
        title = getTitle();
        titles[j++] = title;
        //print(i+" "+title);
    run("Duplicate...", "title=dno_000m-1.tif");
    run("8-bit");
    setThreshold(0, 254);
    run("Create Selection");
    close();
    run("RGB Split");
        measure(""+title+" (red)", roi);
        measure(""+title+" (green)", roi);
        measure(""+title+" (blue)", roi); }
    reformatResults(titles);
    //print((getTime()-start)/1000);
    function measure(title, roi) {
        selectImage(title);
        if (roi!="") open(roi);
    run("Restore Selection");// !!! bitno !!!
}

```

```
run("Measure");
close();}

function reformatResults(titles) {
    n = nResults/3;
    reds = newArray(n);
    greens = newArray(n);
    blues = newArray(n);
    for (i=0; i<n; i++) {
        reds[i] = getResult("Mean", i*3);
        greens[i] = getResult("Mean", i*3+1);
        blues[i] = getResult("Mean", i*3+2);}
    run("Clear Results");
    for (i=0; i<n; i++) {
        setResult("Label", i, titles[i]);
        setResult("Red", i, reds[i]);
        setResult("Green", i, greens[i]);
        setResult("Blue", i, blues[i]);}
    updateResults()}
```

3. EKSPERIMENTALNI DIO

3.1. ZADATAK

Zadatak je bio praćenje promjene boje čajnog peciva tijekom 10 minuta pečenja (praćenje promjena boje tijekom svake minute). Svaki uzorak je skeniran, a slika obrađena računalnom analizom u programu *ImageJ*. Za pripravu čajnog peciva upotrebljene su različiti tipovi pšeničnog brašna te zamjesi s različitim udjelom vode:

- ✓ standardni (16 g vode) [S]
- ✓ suhi (12 g vode) [D]
- ✓ vlažni (20 g vode) [W]

3.2. MATERIJALI I METODE

3.2.1. MATERIJALI

- ✓ Proizvod: čajno pecivo
- ✓ Receptura prema AACC metode 10-50D:
- ✓ 225 g pšeničnog brašna (referentno, cjelovitno, T-1100, T-850, T-550, T-400)
- ✓ 64 g shortening-a (margarin)
- ✓ 130 g šećera
- ✓ 2,1 g NaCl
- ✓ 2,5 g NaHCO₃
- ✓ 33 g otopine glukoze (8,9 g glukoze otopljen u 150 cm³ destilirane vode)
- ✓ Destilirana voda – dodatak vode ovisi o vrsti zamjesa.

Tablica3.1 Tipovi brašna prema Pravilniku o žitaricama, mlinskim i pekarskim proizvodima, tjestenini, tjestu i proizvodima od tijesta (NN br. 78/05.)

| Tip | Udio pepela (%) |
|----------|-----------------|
| tip 400 | do 0,45 |
| tip 550 | od 0,50 do 0,60 |
| tip 850 | od 0,80 do 0,90 |
| tip 1100 | od 1,05 do 1,15 |

3.2.2. PROCES PROIZVODNJE ČAJNOG PECIVA

Sva čajna peciva koja su analizirana prilikom izrade ovog diplomskog rada su oblikovana čajna peciva, proizvedena u laboratorijskim uvjetima. Sirovine za proizvodnju ovih peciva, nabavljene su iz lokalnih trgovina. Vaganje se vrši prema recepturi AACCC metode 10-50D, a svaka sirovina se posebno važe. Vaganje se vrši na poluautomatskoj laboratorijskoj vagi. Odvagano brašno, šećer, NaCl, NaHCO₃, otopina glukoze, te odmjerena količina destilirane vode se dodaju u posudu za miješanje. Miješanje se vrši pomoću ručnog miksera. Sirovine koje se odvaguju za izradu jedne mase predstavljaju jednu šaržu čija veličina ovisi o ukupnoj masi sirovina koje su propisane AACCC metodom.

Nakon što su izvagane, sirovine se dodaju u posudu, u kojoj se miješaju ručnom miješalicom (mikserom). Prvo se dodaju mast, šećer, sol i NaHCO₃ te se miješaju brzinom 1 (najsporijom) miksera tijekom 3 minute. Svake minute je potrebno sastrugati sastojke sa stijenki posude u kojoj se vrši miješanje.

Nakon završetka miješanja spomenutih sirovina potrebno je dodati otopinu glukoze i destiliranu vodu, te nastaviti miješati brzinom 1 (najsporijom) tijekom 1 minute, a potom još 1 minutu brzinom 2 (srednja brzina miksera). Nakon što su sve sirovine sjedinjenje, dodati ukupnu količinu brašna i miješati 2 minute brzinom 1. Dobiveno tijesto sakupiti ručno i okruglo oblikovati, staviti u PVC vrećicu te u hladnjak (do 8 °C) tijekom 30 do 60 minuta.

Nakon što se tijesto ohladi, razvaljati ga valjkom za tijesto na debljinu 7 mm u dva poteza valjka (naprijed-nazad). Za svaki uzorak brašna potrebno je izraditi 10 komada keksa. Kekse peći u pećnici pri temperaturi 205 °C. Vrijeme pečenja: prvi uzorak peče se 1 minutu, drugi 2 minute itd. Nakon pečenja, kekse ohladiti 30 minuta pri sobnoj temperaturi.

3.2.3. MJERENJE TEMPERATURE UNUTAR KEKSA I PEĆNICE

Najvažniji korak pri provedbi mjerena i konstrukciji uređaja je odabir mjernih osjetila. Za mjerene temperature uzorka odabrani su termoparovi u skladu sa svojstvima materijala (tijesta) za mjerene i prirodni proces pečenja. Radna temperatura uređaja kreće se u rasponu od 200 °C do 230 °C što odgovara temperaturnom rasponu termopara T (bakar-konstantan) od –250 do + 404 °C. Budući da su temperature mjerena vrlo visoke, a promjene u materijalu brze, odabran je termopar s otkrivenim krajem, vremenskom konstantom od 0,1 sekunde i vremenom odaziva od 0,5 sekundi. Termopar tipa T (bakar-konstantan) odgovara svim navedenim zahtjevima i uz to preporuča se za prehrambene materijale koji imaju blago oksidirajuća i reducirajuća svojstva, te povišen udio vode. Termopar tipa T ima otkriven vrh promjera 0,010" (vanjski s izolacijom 0,052") ili 0,0254 cm. Mali promjer termopara omogućuje postavljanje točno u sredinu uzorka čajnog peciva. Temperature su praćene paralelno u četiri uzorka čajnog peciva.

3.2.4. ISPITIVANJE BOJE ČAJNOG PECIVA

Za skeniranje uzorka čajnog peciva upotrijebljen je skener *EPSON PERFECTION V500 photo*. Skeniranje je održano u kontroliranim uvjetima, odnosno u prostoru koji ne propušta nikakav vanjski izvor svjetlosti.



Slika 3.1 Skener EPSON PERFECTION V500 photo

3.2.5. MODELIRANJE KINETIKE PROMJENE BOJE ČAJNOG PECIVA TIJEKOM PEČENJA

Pri odabiru kinetičkih modela uzeti su u obzir slijedeći kriteriji:

- ✓ da je model jednostavan
- ✓ da sadrži mali broj parametara
- ✓ da zadovoljava kriterij točnosti.

Tablica 3.2 Pregled kinetičkih modela rabljenih u kinetičkoj analizi

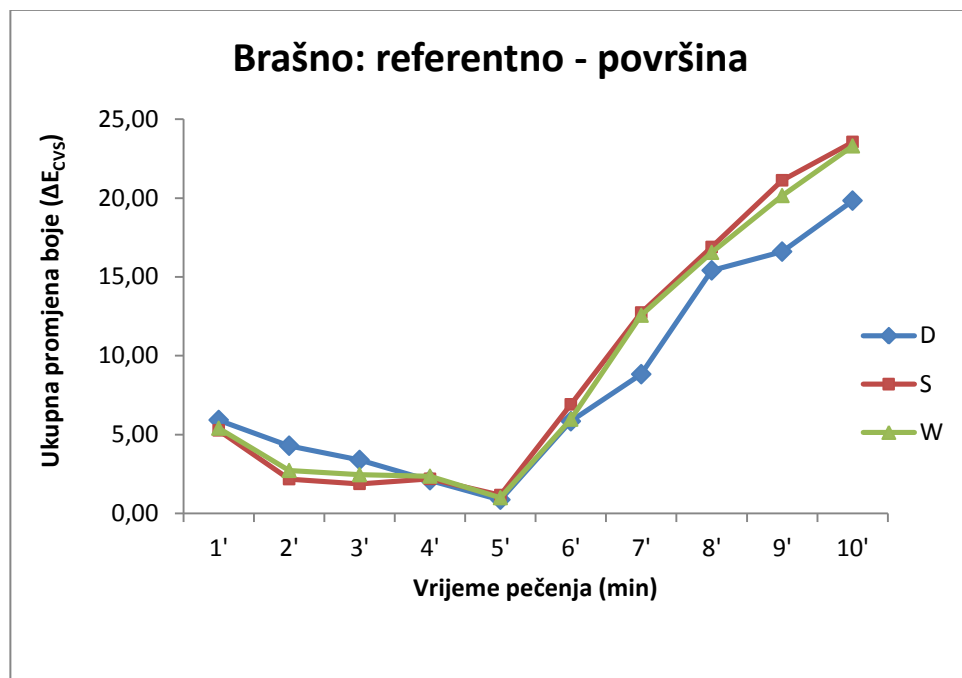
| Model | Kinetički model | Parametri modela | Broj jednadžbe |
|----------------------|---|------------------|----------------|
| Nulti red | $L^* = L_0^* - k_{0NL} \cdot t$ | k_{0L} | (3.1) |
| Prvi red nelinearna | $L^* = L_0^* \exp -k_{1NL} \cdot t$ | k_{1NL} | (3.2) |
| Prvi red linearna | $\ln L^* = \ln L_0^* - k_{1L} \cdot t$ | k_{1L} | (3.3) |
| Drugi red nelinearna | $L^* = \frac{L_0^*}{1 + L_0^* \cdot k_{2NL} \cdot t}$ | k_{2NL} | (3.4) |
| Drugi red linearna | $\frac{1}{L^*} = \frac{1}{L_0^*} + k_{2L} \cdot t$ | k_{2L} | (3.5) |

Regresijskom analizom eksperimentalnih rezultata procijenjeni su parametri kinetičkih matematičkih modela (**tablica 3.2**), a slaganje eksperimentalnih i (prema modelima) izračunatih vrijednosti određeno je pomoću statističkih parametara (R, RMSE). Modeliranje kinetike promjene boje čajnog peciva tijekom pečenja napravljeno je na eksperimentalnim podacima uzoraka čajnih peciva pečenim na temperaturi 205 °C. Parametri modela su red reakcije i konstanta brzine reakcije, s obzirom da je red reakcije definiran odabirom modela; reakcija nultog reda - red reakcije je nula, reakcija prvog reda - red reakcije je jedan, reakcija drugog reda - red reakcije je dva; regresijom je procjenjivana konstanta brzine kemijske reakcije ([Lukinac-Čačić, 2012.](#)).

4. REZULTATI I RASPRAVA

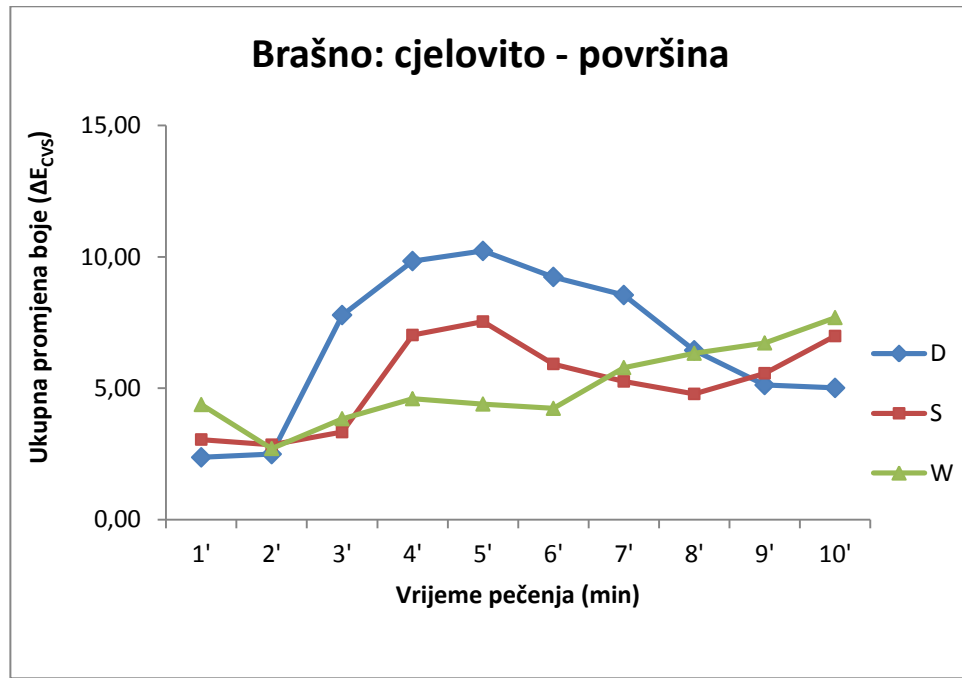
4.1. REZULTATI ODREĐIVANJA BOJE ČAJNOG PECIVA (POVRŠINA ČAJNOG PECIVA)

Slika 4.1 prikazuje rezultate ukupne promjene boje čajnog peciva od referentnog brašna tijekom 10 minuta pečenja, gdje se može vidjeti da vrijednost ukupne promjene boje od 1. do 5. minute neznatno opada (5,27 do 1,16), ali dolazi do njenog značajnog rasta od 5. do 10. minute (1,16 do 23,56), što vrijedi i za standardni, suhi i vlažni zamjes. Međutim, uspoređujući te tri vrste zamjesa, ukupna promjena boje najmanja je kod suhog zamjesa.



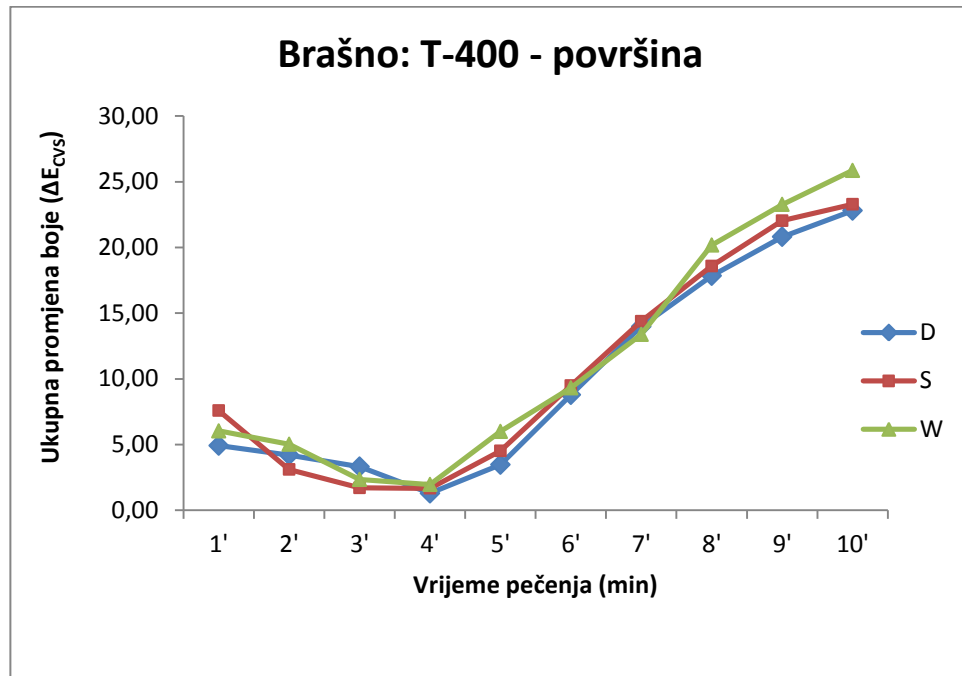
Slika 4.1 Ukupna promjena boje čajnog peciva od referentnog brašna s obzirom na vrijeme pečenja

Slika 4.2 prikazuje rezultate ukupne promjene boje čajnog peciva od cjelovitog brašna tijekom 10 minuta pečenja, gdje se može vidjeti da nema značajnije promjene boje od 1. do 2. minute (3,05 do 2,85), ali od 2. do 5. minute dolazi povećanja ukupne promjene boje (2,85 do 7,54) s tim da do 10. minute dolazi i do odrađenog pada (do 6,99), što vrijedi za standardni i suhi zamjes. Kod vlažnog zamjesa je očitana najmanja promjena boje, a najveća kod suhog zamjesa.



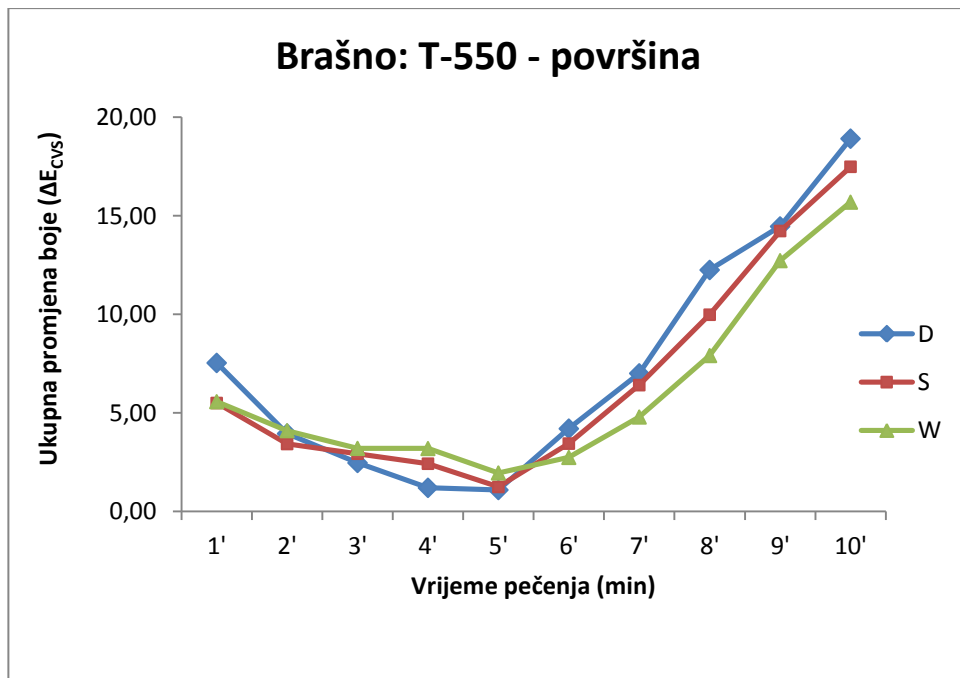
Slika 4.2 Ukupna promjena boje čajnog peciva od cjelovitog brašna s obzirom na vrijeme pečenja

Slika 4.3 prikazuje rezultate ukupne promjene boje čajnog peciva od brašna tipa T-400 tijekom 10 minuta pečenja, gdje se može vidjeti da vrijednost ukupne promjene boje od 1. do 4. minute blago opada (7,58 do 1,67), ali dolazi do njenog značajnog rasta od 4. do 10. minute (1,16 do 23,29), što vrijedi i za standardni, suhi i vlažni zamjes. Međutim, uspoređujući te tri vrste zamjesa, ukupna promjena boje najmanja je kod suhog zamjesa.



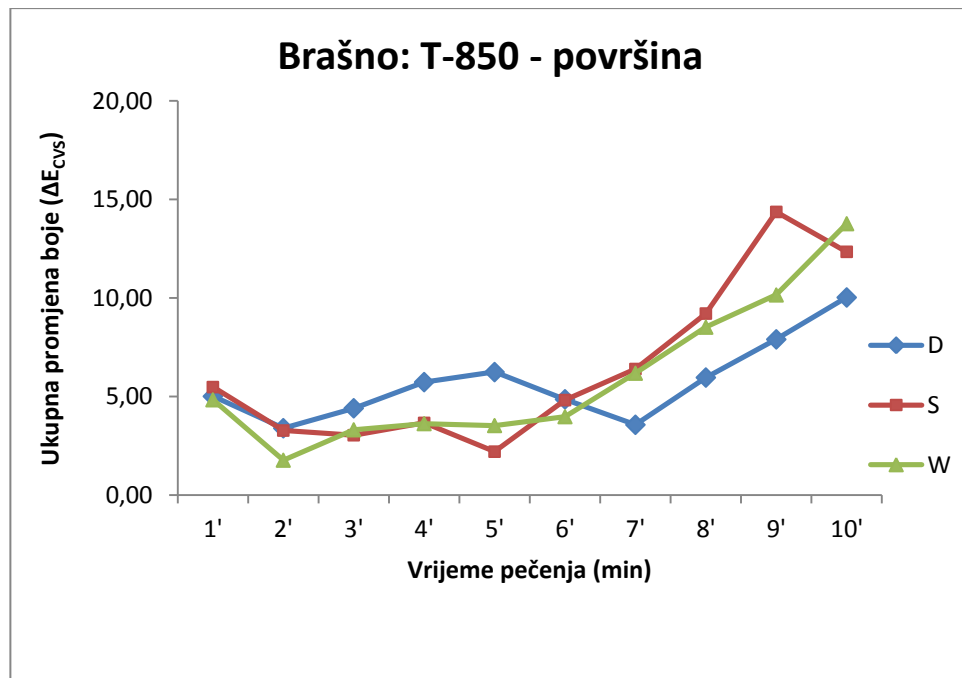
Slika 4.3 Ukupna promjena boje čajnog peciva od brašna tipa T-400 s obzirom na vrijeme pečenja

Slika 4.4 prikazuje rezultate ukupne promjene boje čajnog peciva od brašna tipa T-550 tijekom 10 minuta pečenja, gdje se može vidjeti da vrijednost ukupne promjene boje od 1. do 5. minute blago opada (5,51 do 1,25), ali dolazi do njenog značajnog rasta od 5. do 10. minute (1,25 do 17,49), što vrijedi i za standardni, suhi i vlažni zamjes. Međutim, uspoređujući te tri vrste zamjesa, ukupna promjena boje najmanja je kod vlažnog zamjesa.



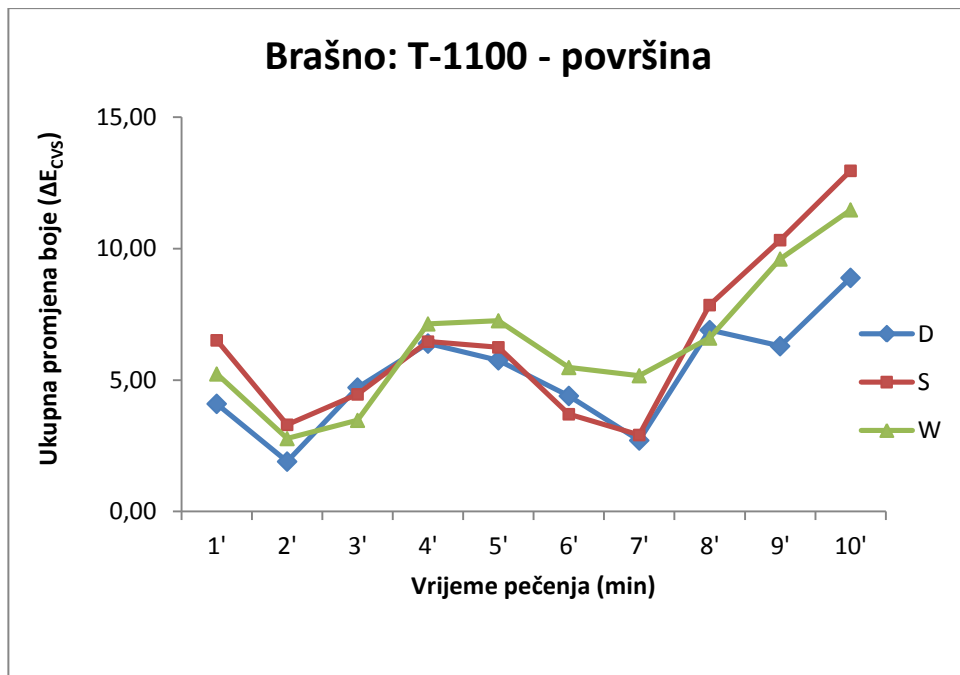
Slika 4.4 Ukupna promjena boje čajnog peciva od brašna tipa T-550 s obzirom na vrijeme pečenja

Slika 4.5 prikazuje rezultate ukupne promjene boje čajnog peciva od brašna tipa T-850 tijekom 10 minuta pečenja, gdje se može vidjeti da se vrijednost ukupne promjene boje od 1. do 5. minute, odnosno do 7. minute za suhi i vlažni zamjes, ne mijenja značajnije (5,48 do 2,20), a do naglog rasta dolazi od 5., odnosno 7. do 10. minute (2,20 do 12,34). Uspoređujući sve tri vrste zamjesa, ukupna promjena boje najmanja je kod suhog zamjesa.



Slika 4.5 Ukupna promjena boje čajnog peciva od brašna tipa T-850 s obzirom na vrijeme pečenja

Slika 4.6 prikazuje rezultate ukupne promjene boje čajnog peciva od brašna tipa T-1100 tijekom 10 minuta pečenja, gdje se može vidjeti da vrijednost ukupne promjene boje od 1. do 2. minute blago opada (6,51 do 3,30), zatim se od 2. do 7. minute očitava blagi rast i pad, dok do značajnijeg rasta dolazi između 7. i 10. minute (2,91 do 12,97). Međutim, uspoređujući te tri vrste zamjesa, ukupna promjena boje najmanja je kod suhog zamjesa.



Slika 4.6 Ukupna promjena boje čajnog peciva od brašna tipa T-1100 s obzirom na vrijeme pečenja

Tablica 4.1 Promjena vrijednosti svjetline (L^*) boje površine čajnog peciva tijekom pečenja

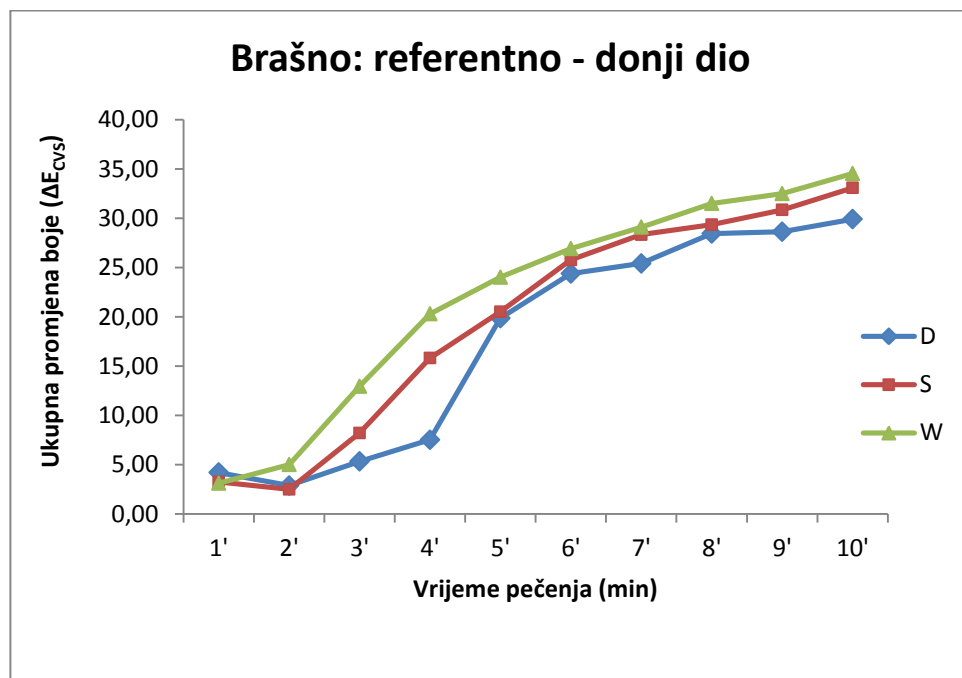
| L^* | Referentno | | | Cjelovito | | | T-400 | | |
|-------|-----------------------|---------|---------|-----------|---------|---------|---------|---------|---------|
| | Vrijeme pečenja (min) | S | D | W | S | D | W | S | D |
| 0 | 77,0632 | 78,2803 | 78,1167 | 55,0506 | 51,3047 | 57,8081 | 79,3823 | 79,7471 | 80,3650 |
| 1 | 71,8589 | 72,3865 | 72,7418 | 52,1405 | 49,1562 | 53,4340 | 72,4053 | 74,8845 | 74,3934 |
| 2 | 75,2598 | 74,0316 | 75,4558 | 54,9836 | 51,8443 | 55,7326 | 76,5562 | 75,8969 | 75,5709 |
| 3 | 76,7727 | 75,7915 | 77,5731 | 57,1365 | 58,4058 | 60,5853 | 77,8309 | 77,0610 | 78,2660 |
| 4 | 78,1921 | 76,8837 | 78,9325 | 61,6286 | 60,7686 | 61,7628 | 77,8535 | 78,7563 | 78,8261 |
| 5 | 77,8319 | 78,0232 | 77,9361 | 62,1310 | 61,1592 | 61,3602 | 76,6609 | 77,4394 | 76,1453 |
| 6 | 72,9572 | 74,2671 | 73,7980 | 59,9400 | 60,0198 | 60,0753 | 72,7189 | 74,0538 | 74,0599 |
| 7 | 68,0142 | 71,8581 | 68,9596 | 58,2174 | 58,8390 | 56,7898 | 68,6436 | 69,5979 | 70,7582 |
| 8 | 63,8324 | 65,9314 | 65,2058 | 55,4890 | 55,5630 | 54,2146 | 64,3585 | 65,3167 | 64,0489 |
| 9 | 59,1115 | 64,5522 | 61,0491 | 53,3923 | 53,8974 | 53,3903 | 60,7761 | 62,1759 | 60,5707 |
| 10 | 56,3711 | 61,3856 | 57,9937 | 50,6691 | 52,0620 | 52,4042 | 59,1972 | 59,9127 | 57,7047 |

Tablica 4.2 Promjena vrijednosti svjetline (L^*) boje površine čajnog peciva tijekom pečenja

| L^* | T-550 | | | T-850 | | | T-1100 | | |
|-------|-----------------------|---------|---------|---------|---------|---------|---------|---------|---------|
| | Vrijeme pečenja (min) | S | D | W | S | D | W | S | D |
| 0 | 76,4397 | 75,7362 | 75,2018 | 73,5872 | 70,2772 | 72,1712 | 67,4690 | 67,0861 | 66,2370 |
| 1 | 70,9788 | 68,5914 | 69,6799 | 68,1700 | 65,4183 | 67,4649 | 60,9924 | 63,0462 | 61,2667 |
| 2 | 73,0764 | 71,8552 | 71,3861 | 70,7085 | 67,7119 | 71,0387 | 64,8836 | 66,0049 | 63,8580 |
| 3 | 74,5103 | 73,7448 | 74,7212 | 73,8137 | 72,5039 | 73,9796 | 70,1015 | 70,5727 | 68,2818 |
| 4 | 76,3278 | 76,1546 | 76,3118 | 75,4420 | 74,3523 | 75,5959 | 72,9328 | 72,7102 | 72,7684 |
| 5 | 76,9193 | 76,5374 | 76,9185 | 75,5045 | 75,5045 | 75,3813 | 73,3614 | 72,7278 | 73,3871 |
| 6 | 74,9672 | 74,3850 | 74,8174 | 72,1742 | 75,0956 | 73,0137 | 71,1669 | 71,4100 | 71,6665 |
| 7 | 72,2101 | 71,6086 | 72,2658 | 69,6274 | 73,3629 | 69,3323 | 68,6905 | 69,1629 | 66,2321 |
| 8 | 69,4015 | 66,9715 | 69,7467 | 67,2104 | 67,6674 | 67,2312 | 63,0079 | 63,2020 | 64,1280 |
| 9 | 64,8278 | 64,5372 | 65,4632 | 61,2510 | 65,4736 | 64,5980 | 60,0154 | 63,5239 | 60,1741 |
| 10 | 61,7530 | 59,8076 | 62,6329 | 63,7695 | 62,7464 | 60,8869 | 57,4860 | 61,3769 | 58,3683 |

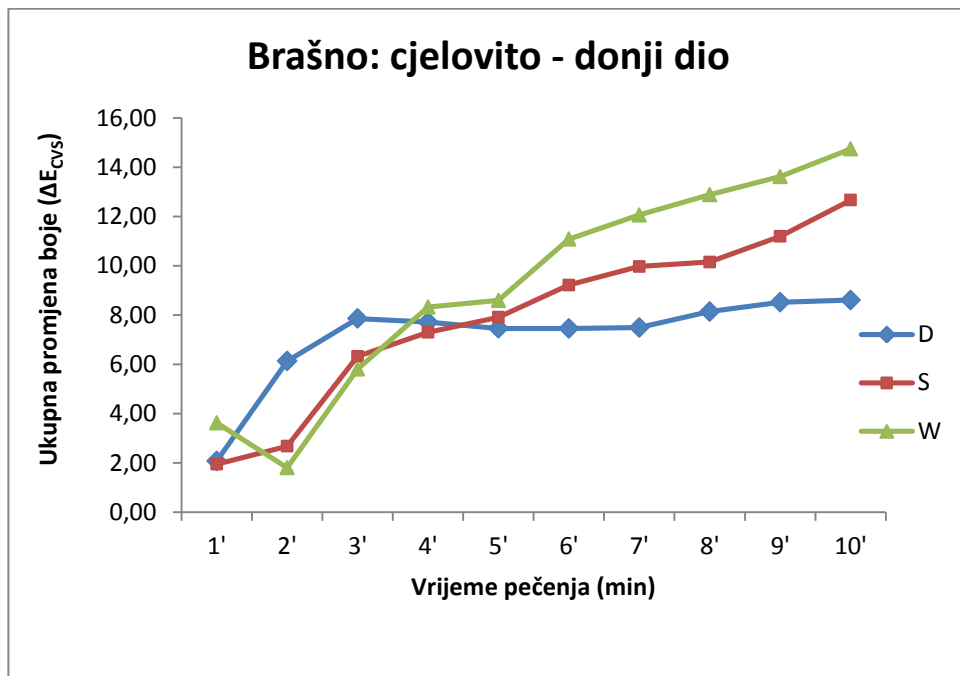
4.2. REZULTATI ODREĐIVANJA BOJE ČAJNOG PECIVA (DONJI DIO ČAJNOG PECIVA)

Slika 4.7 prikazuje rezultate ukupne promjene boje donjeg dijela čajnog peciva od referentnog brašna tijekom 10 minuta pečenja. Od 1. do 2. minute nema značajnije promjene boje (3,25 do 2,50), ali dolazi do njenog značajnog rasta od 2. do 10. minute (2,50 do 33,10), što vrijedi i za standardni, suhi i vlažni zamjes. Međutim, uspoređujući te tri vrste zamjesa, ukupna promjena boje najmanja je kod suhog zamjesa.



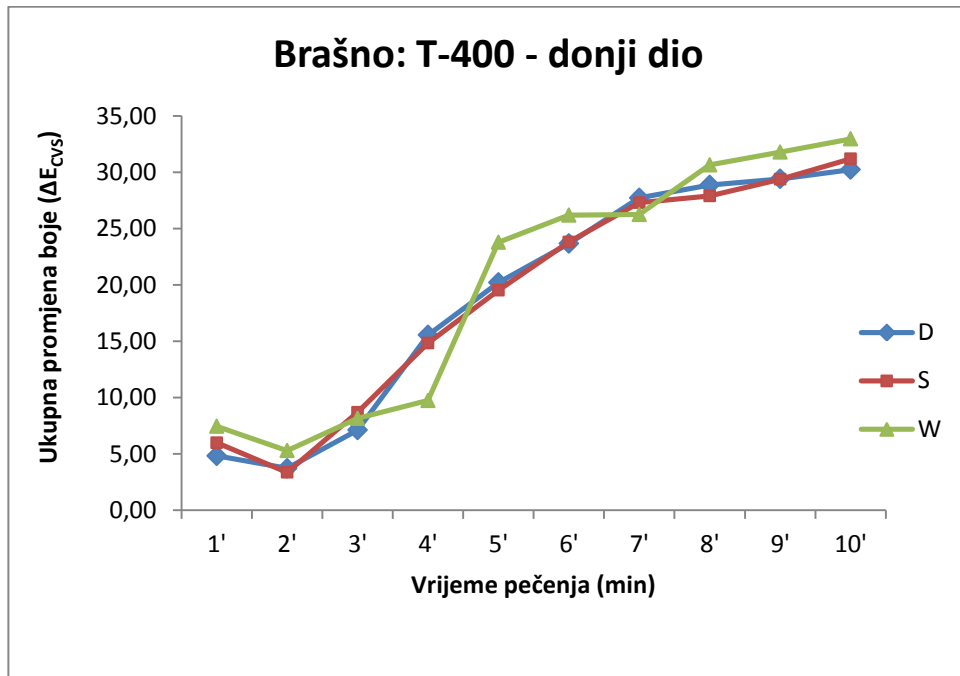
Slika 4.7 Ukupna promjena boje donjeg dijela čajnog peciva od referentnog brašna s obzirom na vrijeme pečenja

Slika 4.8 prikazuje rezultate ukupne promjene boje donjeg dijela čajnog peciva od cjelovitog brašna tijekom 10 minuta pečenja. U ovom slučaju, vrijednost ukupne promjene boje počinje rasti već u 1. minuti i raste sve do 10. minute (1,95 do 12,67). Iznimka je vlažni zamjes kod kojeg dolazi do pada između 1. i 2. minute. Uspoređujući te tri vrste zamjesa, ukupna promjena boje najmanja je kod suhog zamjesa.



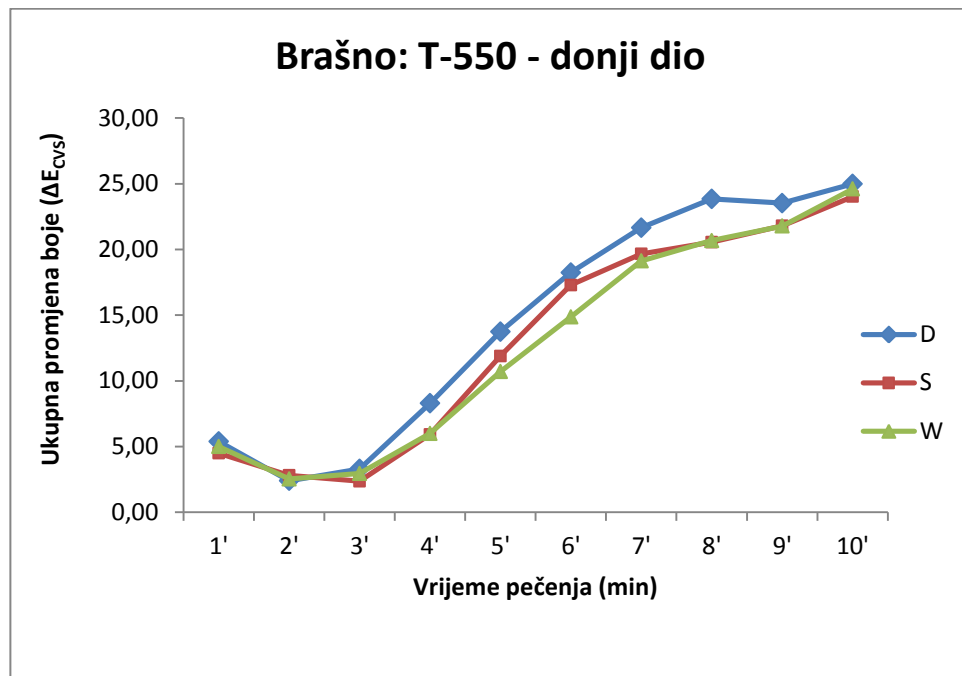
Slika 4.8 Ukupna promjena boje donjeg dijela čajnog peciva od cjelovitog brašna s obzirom na vrijeme pečenja

Slika 4.9 prikazuje rezultate ukupne promjene boje donjeg dijela čajnog peciva od brašna tipa T-400 tijekom 10 minuta pečenja. Od 1. do 2. minute nema značajnije promjene boje (5,99 do 3,36), ali dolazi do njenog značajnog rasta od 2. do 10. minute (3,36 do 31,20), što vrijedi i za standardni, suhi i vlažni zamjes, s tim da je kod vlažnog zamjesa na kraju očitana najveća vrijednost ukupne promjene boje.



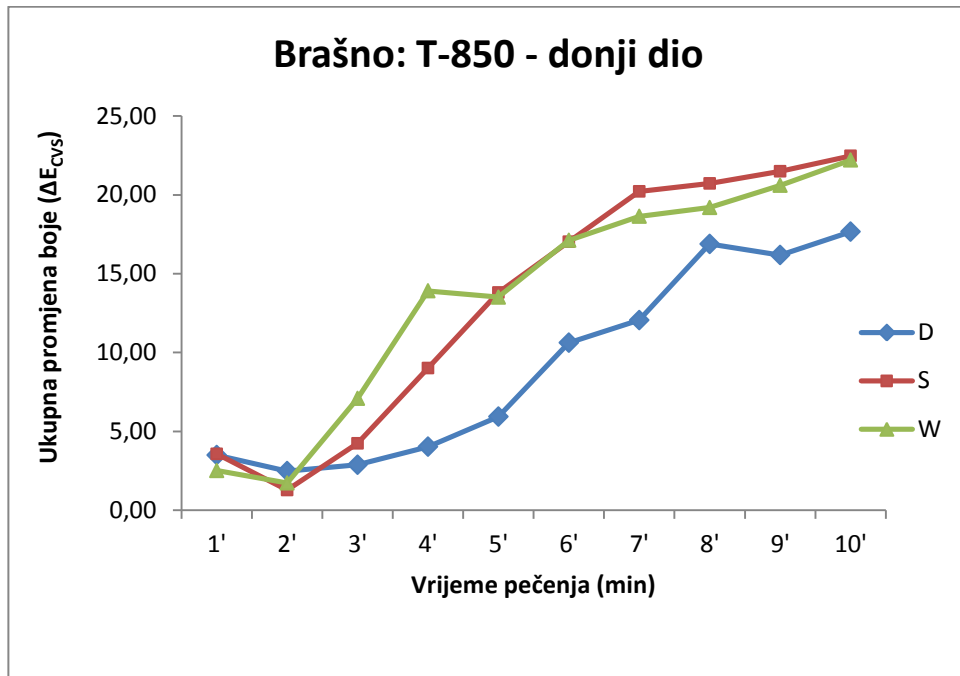
Slika 4.9 Ukupna promjena boje donjeg dijela čajnog peciva od brašna tipa T-400 s obzirom na vrijeme pečenja

Slika 4.10 prikazuje rezultate ukupne promjene boje donjeg dijela čajnog peciva od brašna tipa T-550 tijekom 10 minuta pečenja. Od 1. do 3. minute vrijednost ukupne promjene boje blago opada (4,49 do 2,35), ali dolazi do njenog značajnog rasta od 3. do 10. minute (2,35 do 24,03), što vrijedi i za standardni, suhi i vlažni zamjes, s tim da je kod vlažnog zamjesa na kraju očitana najmanja vrijednost ukupne promjene boje.



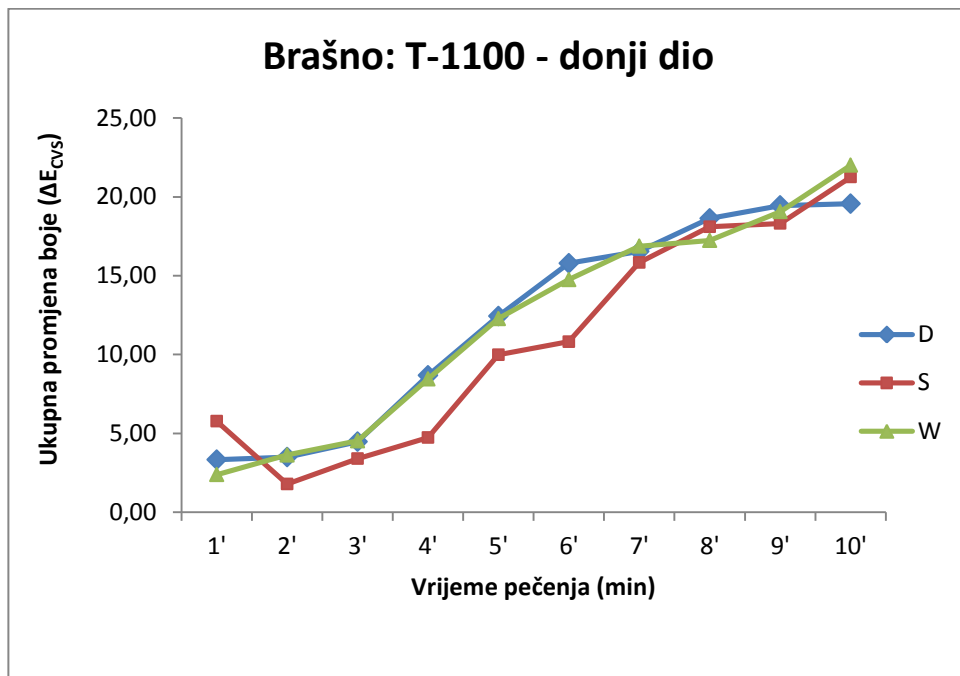
Slika 4.10 Ukupna promjena boje donjeg dijela čajnog peciva od brašna tipa T-550 s obzirom na vrijeme pečenja

Slika 4.11 prikazuje rezultate ukupne promjene boje donjeg dijela čajnog peciva od brašna tipa T-850 tijekom 10 minuta pečenja. Od 1. do 2. minute vrijednost ukupne promjene boje blago opada (3,57 do 1,28), nakon čega od 2. do 10. minute značajno raste (1,28 do 22,47), što vrijedi i za standardni, suhi i vlažni zamjes, s tim da je kod suhog zamjesa na kraju očitana najmanja promjena boje.



Slika 4.11 Ukupna promjena boje donjeg dijela čajnog peciva od brašna tipa T-850 s obzirom na vrijeme pečenja

Slika 4.12 prikazuje rezultate ukupne promjene boje donjeg dijela čajnog peciva od brašna tipa T-1100 tijekom 10 minuta pečenja. Od 1. do 2. minute vrijednost ukupne promjene boje opada od 5,77 do 1,79, nakon čega od 2. do 10. minute značajno raste od 1,79 do 21,26 i kod standardnog, suhog i vlažnog zamjesa. Najveća vrijednost promjene boje očitana je kod vlažnog zamjesa.



Slika 4.12 Ukupna promjena boje donjeg dijela čajnog peciva od brašna tipa T-1100 s obzirom na vrijeme pečenja

Tablica 4.3 Promjena vrijednosti svjetline (L^*) boje **donjeg dijela** čajnog peciva tijekom pečenja

| L^* | Referentno | | | Cjelovito | | | T-400 | | |
|-------|------------|--------|--------|-----------|---------|---------|---------|---------|---------|
| | S | D | W | S | D | W | S | D | W |
| 0 | 77,577 | 76,709 | 79,327 | 55,050 | 50,8272 | 52,4042 | 79,3497 | 79,9936 | 80,3650 |
| 1 | 73,874 | 74,240 | 75,059 | 52,140 | 49,3558 | 56,3354 | 73,7175 | 75,0870 | 74,3934 |
| 2 | 76,307 | 75,924 | 75,613 | 54,983 | 57,1282 | 54,1957 | 76,4007 | 76,3000 | 75,5709 |
| 3 | 73,180 | 75,360 | 70,063 | 57,136 | 57,5289 | 58,4062 | 74,2769 | 74,7893 | 78,2660 |
| 4 | 67,031 | 74,116 | 62,710 | 61,628 | 55,0944 | 58,2047 | 69,8308 | 68,9765 | 78,8261 |
| 5 | 61,370 | 63,089 | 58,312 | 62,131 | 52,4839 | 56,0055 | 65,3880 | 64,9651 | 76,1453 |
| 6 | 55,699 | 58,117 | 55,517 | 59,940 | 50,8169 | 54,8372 | 60,8677 | 61,1077 | 74,0599 |
| 7 | 52,959 | 56,781 | 52,858 | 58,217 | 49,3927 | 50,7462 | 56,6500 | 56,5992 | 70,7582 |
| 8 | 51,571 | 53,450 | 50,154 | 55,489 | 47,6174 | 49,5074 | 55,2998 | 54,5248 | 64,0489 |
| 9 | 49,565 | 52,994 | 48,710 | 53,392 | 46,2363 | 47,9768 | 53,5954 | 53,7634 | 60,5707 |
| 10 | 47,098 | 51,351 | 46,608 | 50,669 | 45,3048 | 46,4945 | 51,5281 | 52,8188 | 57,7047 |

Tablica 4.4 Promjena vrijednosti svjetline (L^*) boje **donjeg dijela** čajnog peciva tijekom pečenja

| L^* | T-550 | | | T-850 | | | T-1100 | | |
|-------|--------|--------|--------|--------|---------|---------|---------|---------|---------|
| | S | D | W | S | D | W | S | D | W |
| 0 | 75,322 | 75,466 | 74,674 | 71,275 | 70,8418 | 72,1712 | 66,4241 | 67,1239 | 66,2647 |
| 1 | 72,150 | 70,500 | 70,374 | 70,236 | 67,2203 | 71,7392 | 61,8862 | 64,0477 | 64,2385 |
| 2 | 73,805 | 74,282 | 73,056 | 73,223 | 71,5776 | 70,0681 | 68,5630 | 70,4288 | 69,7388 |
| 3 | 75,020 | 72,073 | 73,565 | 72,275 | 72,7129 | 73,1512 | 70,3785 | 68,9898 | 68,0034 |
| 4 | 73,722 | 67,645 | 71,917 | 68,698 | 71,2857 | 70,8248 | 68,5135 | 63,2159 | 62,8202 |
| 5 | 68,601 | 63,272 | 68,689 | 64,218 | 69,0510 | 62,9025 | 62,1092 | 58,8963 | 58,4351 |
| 6 | 63,330 | 59,133 | 64,717 | 60,686 | 64,4282 | 63,2228 | 60,9111 | 55,1530 | 55,6284 |
| 7 | 60,940 | 56,276 | 60,464 | 57,107 | 62,6359 | 59,4477 | 55,8696 | 54,3404 | 53,3218 |
| 8 | 59,844 | 56,141 | 58,716 | 56,157 | 57,2485 | 57,5149 | 53,2693 | 52,0129 | 52,9144 |
| 9 | 58,224 | 54,409 | 57,113 | 54,875 | 57,3682 | 56,5111 | 52,8010 | 51,0508 | 50,5299 |
| 10 | 55,953 | 75,466 | 54,172 | 53,933 | 55,9488 | 54,5619 | 49,7457 | 50,9028 | 47,4181 |

4.3. MODELIRANJE KINETIKE PROMJENE BOJE ČAJNOG PECIVA TIJEKOM PEČENJA

Uspješnost primjene odabralih matematičkih modela analizirana je na osnovi više statističkih kriterija. U ovom radu prikazani su koeficijent korelacije (R), koji bi idealnom slučaju imao vrijednost 1, te srednje kvadratno odstupanje (RMSE).

Tablica 4.5 Rezultati kinetičkih parametara (uzorak: čajno pecivo od referentnog brašna)

| Uzorak | Boja površina | | | Boja donji dio | | |
|------------------------|------------------------------|---------------|---------------|-----------------------|---------------|---------------|
| | Vrsta zamjesa | D | S | W | D | S |
| Parametar | Nulti red | | | | | |
| k_{CVS} | 1,2045 | 1,5723 | 1,4072 | 2,5863 | 3,1462 | 3,5726 |
| R | 0,7809 | 0,8045 | 0,7925 | 0,9357 | 0,9725 | 0,9824 |
| RMSE | 3,3827 | 4,4443 | 4,2477 | 3,5537 | 2,5730 | 2,1155 |
| | Prvi red, linearne | | | | | |
| k_{CVS} | 1,6900E-02 | 2,2800E-02 | 2,0200E-02 | 3,9700E-02 | 4,9300E-02 | 5,5500E-02 |
| R | 0,7804 | 0,8007 | 0,7898 | 0,9350 | 0,9707 | 0,9883 |
| RMSE | 0,0485 | 0,0665 | 0,0623 | 0,0559 | 0,0430 | 0,0280 |
| | Prvi red, nelinearne | | | | | |
| k_{CVS} | 1,6300E-02 | 2,1600E-02 | 1,9100E-02 | 3,8500E-02 | 4,8200E-02 | 5,5400E-02 |
| R | 0,7689 | 0,7879 | 0,7774 | 0,9240 | 0,9642 | 0,9863 |
| RMSE | 3,4624 | 4,6073 | 4,3808 | 3,8512 | 2,9302 | 1,8651 |
| | Drugi red, linearne | | | | | |
| k_{CVS} | 2,3799E-04 | 3,3341E-04 | 2,9182E-04 | 6,1681E-04 | 7,8401E-04 | 8,7832E-04 |
| R | 0,7795 | 0,7960 | 0,7867 | 0,9330 | 0,9652 | 0,9878 |
| RMSE | 6,9994E-04 | 1,0054E-03 | 9,2318E-04 | 8,9769E-04 | 7,7273E-04 | 4,7201E-04 |
| | Drugi red, nelinearne | | | | | |
| k_{CVS} | 2,2054E-04 | 2,9533E-04 | 2,5987E-04 | 5,7058E-04 | 7,3291E-04 | 8,5052E-04 |
| R | 0,7573 | 0,7721 | 0,7630 | 0,9094 | 0,9503 | 0,9800 |
| RMSE | 3,5365 | 4,7547 | 4,5021 | 4,1892 | 3,4432 | 2,2515 |

Kod uzorka čajnog peciva od referentnog brašna, rezultati kinetičkih modela pokazali su da je koeficijent korelacije (R) najveći, odnosno najbliži idealnoj vrijednosti 1, kod reakcija nultog reda, i za površinu i za donji dio čajnog peciva, kod svih vrsta zamjesa, sa iznimkom vlažnog zamjesa kod donjeg dijela čajnog peciva gdje je najveća vrijednost R očitana kod reakcija drugog reda linearne oblike.

Tablica 4.6 Rezultati kinetičkih parametara (uzorak: čajno pecivo od cjelovitog brašna)

| Uzorak | Boja površina | | | Boja donji dio | | |
|-------------------------------|------------------------------|---------------|---------------|----------------|---------------|---------------|
| Vrsta zamjesa | D | S | W | D | S | W |
| Parametar | <i>Nulti red</i> | | | | | |
| <i>k_{cvs}</i> | 0,0654 | -0,1591 | 0,1544 | 0,1972 | 0,6749 | 0,9136 |
| R | 0,0728 | 0,0728 | 0,1829 | 0,2894 | 0,7256 | 0,8393 |
| RMSE | 3,9863 | 3,9863 | 4,7848 | 3,7740 | 3,0079 | 2,4786 |
| | <i>Prvi red, linearne</i> | | | | | |
| <i>k_{cvs}</i> | 1,2741E-03 | -2,5334E-03 | 2,8300E-03 | 4,3404E-03 | 1,3400E-02 | 1,7700E-02 |
| R | 0,1219 | 0,1219 | 0,2128 | 0,3342 | 0,7393 | 0,8426 |
| RMSE | 0,0590 | 0,0590 | 0,0720 | 0,0722 | 0,0569 | 0,0475 |
| | <i>Prvi red, nelinearni</i> | | | | | |
| <i>k_{cvs}</i> | 9,6388E-04 | -2,8063E-03 | 2,3094E-03 | 3,8552E-03 | 1,2700E-02 | 1,7100E-02 |
| R | 0,0718 | 0,0718 | 0,1811 | 0,2863 | 0,7163 | 0,8283 |
| RMSE | 3,9866 | 3,9866 | 4,7863 | 3,7777 | 3,0502 | 2,5539 |
| | <i>Drugi red, linearne</i> | | | | | |
| <i>k_{cvs}</i> | 2,3643E-05 | -3,9540E-05 | 5,0422E-05 | 9,4637E-05 | 2,6700E-04 | 3,4537E-04 |
| R | 0,1576 | 0,1576 | 0,2395 | 0,3736 | 0,7501 | 0,8447 |
| RMSE | 8,7606E-04 | 8,7606E-04 | 1,0895E-03 | 1,3888E-03 | 1,0885E-03 | 9,1886E-04 |
| | <i>Drugi red, nelinearni</i> | | | | | |
| <i>k_{cvs}</i> | 1,4202E-05 | -4,9522E-05 | 3,4555E-05 | 7,5379E-05 | 2,4063E-04 | 3,1928E-04 |
| R | 0,0708 | 0,0708 | 0,1794 | 0,2832 | 0,7072 | 0,8174 |
| RMSE | 3,9869 | 3,9869 | 4,7878 | 3,7813 | 3,0903 | 2,6259 |

Kod uzorka čajnog peciva od cjelovitog brašna, rezultati kinetičkih modela pokazali su da je koeficijent korelacije (R) najveći, odnosno najблиži idealnoj vrijednosti 1, kod reakcija drugog reda, linearne oblike, i za površinu i za donji dio čajnog peciva, kod svih vrsta zamjesa.

Tablica 4.7 Rezultati kinetičkih parametara (uzorak: čajno pecivo od brašna tipa T-400)

| Uzorak | Boja površina | | | Boja donji dio | | |
|-----------------------------|------------------------------|---------------|---------------|-----------------------|---------------|---------------|
| Vrsta zamjesa | D | S | W | D | S | W |
| Parametar | Nulti red | | | | | |
| k_{cvs} | 1,6046 | 1,7305 | 1,7141 | 2,9506 | 2,8747 | 2,9461 |
| R | 0,8665 | 0,8638 | 0,8544 | 0,9802 | 0,9789 | 0,9602 |
| RMSE | 3,3048 | 3,4957 | 3,7940 | 1,9199 | 1,9607 | 2,8122 |
| | Prvi red, linearne | | | | | |
| k_{cvs} | 2,2400E-02 | 2,4300E-02 | 2,4200E-02 | 4,3700E-02 | 4,2900E-02 | 4,4000E-02 |
| R | 0,8603 | 0,8595 | 0,8455 | 0,9791 | 0,9766 | 0,9590 |
| RMSE | 0,0485 | 0,0514 | 0,0570 | 0,0304 | 0,0320 | 0,0443 |
| | Prvi red, nelinearni | | | | | |
| k_{cvs} | 2,1600E-02 | 2,3400E-01 | 2,3100E-02 | 4,3300E-02 | 4,2300E-02 | 4,3100E-02 |
| R | 0,8525 | 0,8494 | 0,8385 | 0,9773 | 0,9727 | 0,9518 |
| RMSE | 3,4604 | 3,6624 | 3,9793 | 2,0546 | 2,2269 | 3,0883 |
| | Drugi red, linearne | | | | | |
| k_{cvs} | 3,1366E-04 | 3,4261E-04 | 3,4386E-04 | 6,5551E-04 | 6,4810E-04 | 6,6613E-04 |
| R | 0,8527 | 0,8533 | 0,8350 | 0,9744 | 0,9706 | 0,9540 |
| RMSE | 7,1928E-04 | 7,6416E-04 | 8,6567E-04 | 5,2337E-04 | 5,6444E-04 | 7,4037E-04 |
| | Drugi red, nelinearni | | | | | |
| k_{cvs} | 2,8969E-04 | 3,1691E-04 | 3,1150E-04 | 6,3123E-04 | 6,1809E-04 | 6,2772E-04 |
| R | 0,8388 | 0,8351 | 0,8231 | 0,9687 | 0,9619 | 0,9392 |
| RMSE | 3,6039 | 3,8173 | 4,1472 | 2,4069 | 2,6253 | 3,4589 |

Kod uzorka čajnog peciva od brašna tipa T-400, rezultati kinetičkih modela pokazali su da je koeficijent korelacije (R) najveći, odnosno najbliži idealnoj vrijednosti 1, kod reakcija nultog reda, i za površinu i za donji dio čajnog peciva, kod svih vrsta zamjesa.

Tablica 4.8 Rezultati kinetičkih parametara (uzorak: čajno pecivo od brašna tipa T-550)

| Uzorak | Boja površina | | | Boja donji dio | | |
|-----------------------------|------------------------------|---------------|---------------|-----------------------|---------------|---------------|
| Vrsta zamjesa | D | S | W | D | S | W |
| Parametar | Multi red | | | | | |
| k_{CVS} | 1,7150 | 1,5621 | 1,5292 | 2,0525 | 1,7949 | 1,7950 |
| R | 0,6553 | 0,7182 | 0,5953 | 0,9366 | 0,9278 | 0,9299 |
| RMSE | 4,3261 | 3,6309 | 4,0260 | 2,7122 | 2,6495 | 2,5889 |
| | Prvi red, linearni | | | | | |
| k_{CVS} | 2,3500E-02 | 2,1200E-02 | 2,0700E-02 | 3,1000E-02 | 2,6800E-02 | 2,7200E-02 |
| R | 0,6778 | 0,7330 | 0,6222 | 0,9330 | 0,9255 | 0,9238 |
| RMSE | 0,0604 | 0,0503 | 0,0551 | 0,0432 | 0,0408 | 0,0418 |
| | Prvi red, nelinearni | | | | | |
| k_{CVS} | 2,3100E-02 | 2,0900E-02 | 2,0600E-02 | 3,0200E-02 | 2,6100E-02 | 2,6400E-02 |
| R | 0,6477 | 0,7105 | 0,5907 | 0,9252 | 0,9168 | 0,9170 |
| RMSE | 4,3632 | 3,6719 | 4,0429 | 2,9373 | 2,8362 | 2,8068 |
| | Drugi red, linearni | | | | | |
| k_{CVS} | 3,2383E-04 | 2,8925E-04 | 2,8068E-04 | 4,7214E-04 | 4,0121E-04 | 4,1361E-04 |
| R | 0,6943 | 0,7430 | 0,6439 | 0,9279 | 0,9222 | 0,9163 |
| RMSE | 8,5375E-04 | 7,0611E-04 | 7,6120E-04 | 6,9962E-04 | 6,3680E-04 | 6,8449E-04 |
| | Drugi red, nelinearni | | | | | |
| k_{CVS} | 3,1187E-04 | 2,7905E-04 | 2,7340E-04 | 4,4374E-04 | 3,7778E-04 | 3,8621E-04 |
| R | 0,6407 | 0,7032 | 0,5866 | 0,9123 | 0,9048 | 0,9035 |
| RMSE | 4,3971 | 3,7101 | 4,4886 | 3,1698 | 3,0236 | 3,0151 |

Kod uzorka čajnog peciva od brašna tipa T-550, rezultati kinetičkih modela pokazali su da je koeficijent korelacije (R) najveći, odnosno najbliži idealnoj vrijednosti 1, kod reakcija drugog reda, linearni oblik, za površinu čajnog peciva kod svih vrsta zamjesa, odnosno kod reakcija nultog reda za donji dio čajnog peciva kod svih vrsta zamjesa.

Tablica 4.9 Rezultati kinetičkih parametara (uzorak: čajno pecivo od brašna tipa T-850)

| Uzorak | Boja površina | | | Boja donji dio | | |
|---------------|------------------------------|---------------|---------------|----------------|---------------|---------------|
| Vrsta zamjesa | D | S | W | D | S | W |
| Parametar | <i>Nulti red</i> | | | | | |
| k_{CVS} | 0,1298 | 0,7534 | 0,5378 | 1,2426 | 1,6742 | 1,8592 |
| R | 0,1695 | 0,6253 | 0,5361 | 0,8338 | 0,9134 | 0,9494 |
| RMSE | 4,1773 | 3,4825 | 3,7548 | 3,3343 | 2,9347 | 2,2108 |
| | <i>Prvi red, linearne</i> | | | | | |
| k_{CVS} | 2,1978E-03 | 1,1000E-02 | 8,0406E-03 | 1,9300E-02 | 2,6400E-02 | 2,9200E-02 |
| R | 0,1912 | 0,6306 | 0,5469 | 0,8344 | 0,9141 | 0,9516 |
| RMSE | 0,0599 | 0,0505 | 0,0543 | 0,0521 | 0,0463 | 0,0343 |
| | <i>Prvi red, nelinearni</i> | | | | | |
| k_{CVS} | 1,8330E-03 | 1,0600E-02 | 7,5624E-03 | 1,8600E-02 | 2,5600E-02 | 2,8800E-02 |
| R | 0,1681 | 0,6167 | 0,5292 | 0,8216 | 0,9027 | 0,9428 |
| RMSE | 4,1783 | 3,5129 | 3,7742 | 3,4429 | 3,1033 | 2,3463 |
| | <i>Drugi red, linearne</i> | | | | | |
| k_{CVS} | 3,6390E-05 | 1,6079E-04 | 1,2044E-04 | 3,0239E-04 | 4,1776E-04 | 4,6103E-04 |
| R | 0,2110 | 0,6350 | 0,5568 | 0,8340 | 0,9137 | 0,9521 |
| RMSE | 8,6175E-04 | 7,3601E-04 | 7,8992E-04 | 8,1930E-04 | 7,3895E-04 | 5,4646E-04 |
| | <i>Drugi red, nelinearni</i> | | | | | |
| k_{CVS} | 2,5896E-05 | 1,4771E-04 | 1,0633E-04 | 2,7726E-04 | 3,9077E-04 | 4,4336E-04 |
| R | 0,1667 | 0,6085 | 0,5225 | 0,8095 | 0,8909 | 0,9343 |
| RMSE | 4,1793 | 3,5416 | 3,7926 | 3,5461 | 3,2754 | 2,5098 |

Kod uzorka čajnog peciva od brašna tipa T-850, rezultati kinetičkih modela pokazali su da je koeficijent korelacije (R) najveći, odnosno najbliži idealnoj vrijednosti 1, kod reakcija drugog reda, linearne oblike, i za površinu i za donji dio čajnog peciva, kod svih vrsta zamjesa, sa iznimkom standardnog i suhog zmjesa kod donjeg dijela čajnog peciva gdje je najveća vrijednost R očitana kod reakcija prvog reda linearne oblike.

Tablica 4.10 Rezultati kinetičkih parametara (uzorak: čajno pecivo od brašna tipa T-1100)

| Uzorak | Boja površina | | | Boja donji dio | | |
|-----------------------------|------------------------------|---------------|---------------|-----------------------|---------------|---------------|
| Vrsta zamjesa | D | S | W | D | S | W |
| Parametar | Nulti red | | | | | |
| k_{CVS} | 0,3228 | 0,3228 | 0,0130 | 1,6533 | 1,3064 | 1,6466 |
| R | 0,3009 | 0,3009 | 0,0742i | 0,8937 | 0,7999 | 0,9000 |
| RMSE | 4,9560 | 4,9560 | 4,2964 | 3,1697 | 4,0973 | 3,1596 |
| | Prvi red, linearne | | | | | |
| k_{CVS} | 5,4307E-03 | 5,4307E-03 | 5,1880E-04 | 2,7800E-02 | 2,2100E-02 | 2,8200E-02 |
| R | 0,3217 | 0,3217 | 0,0175 | 0,9012 | 0,8085 | 0,9038 |
| RMSE | 0,0751 | 0,0751 | 0,0640 | 0,0512 | 0,0672 | 0,0532 |
| | Prvi red, nelinearni | | | | | |
| k_{CVS} | 4,7847E-03 | 4,7847E-03 | 1,9329E-04 | 2,7100E-02 | 2,0900E-02 | 2,7200E-02 |
| R | 0,2967 | 0,2967 | 0,0743 | 0,8843 | 0,7859 | 0,8875 |
| RMSE | 4,9627 | 4,9627 | 4,2964 | 3,2995 | 4,2219 | 3,3403 |
| | Drugi red, linearne | | | | | |
| k_{CVS} | 9,0688E-05 | 9,0688E-05 | 1,2615E-05 | 4,6862E-04 | 3,7458E-04 | 4,8547E-04 |
| R | 0,3412 | 0,3412 | 0,0767 | 0,9067 | 0,8146 | 0,9044 |
| RMSE | 1,1437E-03 | 1,1437E-03 | 9,5605E-04 | 8,4151E-04 | 1,1168E-03 | 9,1828E-04 |
| | Drugi red, nelinearni | | | | | |
| k_{CVS} | 7,0942E-05 | 7,0942E-05 | 2,8773E-06 | 4,4114E-04 | 3,3463E-04 | 4,4800E-04 |
| R | 0,2928 | 0,2928 | 0,0743i | 0,8734 | 0,7721 | 0,8743 |
| RMSE | 4,9690 | 4,9690 | 4,2964 | 3,4413 | 4,3392 | 3,5197 |

Kod uzorka čajnog peciva od brašna tipa T-1100, rezultati kinetičkih modela pokazali su da je koeficijent korelacije (R) najveći, odnosno najbliži idealnoj vrijednosti 1, kod reakcija drugog reda, linearni oblik, i za površinu i za donji dio čajnog peciva kod svih vrsta zamjesa.

5. ZAKLJUČCI

Na osnovu rezultata dobivenih računalnom analizom slike uzorka čajnog peciva pečenih 10 minuta na 205 °C, mogu se izvesti sljedeći zaključci:

1. Usporedbom ukupne promjene boje kod standardnog, suhog i vlažnog zamjesa, najmanja ukupna promjena boje očitana je kod suhog zamjesa.
2. Kod svih vrsta zamjesa, ukupna promjena boje u početku ili se neznatno mijenja ili blago opada.
3. Kod sva tri zamjesa, nakon početnog pada ukupne promjene boje dolazi do njenog značajnog rasta, odnosno dolazi do tamnjenja. Povećanjem temperature, započinju reakcije stvaranja dekstrina, odnosno žutih pigmenata, a zatim dolazi i do karamelizacije i Maillardovih reakcija i nastanka smeđe boje.
4. Usporedbom ukupne promjene boje površine i donjeg dijela čajnog peciva, kod sve tri vrste zamjesa, rezultati su pokazali da vrijednost ukupne promjene boje raste brže i više na donjem dijelu uzorka.
5. Usporedbom tipova brašna koji su korišteni u ovom radu, brašna s većim udjelom pepela (cjelovito, T-850 i T-1100) imaju manju ukupnu promjenu boje u odnosu na brašna sa manjim udjelom pepela (referentno, T-400 i T-550).

Na osnovu rezultata dobivenih računalnom analizom slike uzorka čajnog peciva od šest tipova brašna i sa tri tipa zamjesa, s obzirom na promjenu svjetline (L^*), mogu se izvesti sljedeći zaključci:

1. Kod sve tri vrste zamjesa, u početku pečenja, nakon što voda ispari, a netom prije početka reakcija tamnjenja, svjetlina se blago povećava (npr. za referentno brašno: od 77,06 do 78,19).
2. Povećanjem temperature, započinju reakcije karamelizacije i Maillardove reakcije, dolazi do nastanka smeđe boje, pa se svjetlina smanjuje (npr. za referentno brašno: od 78,19 do 56,37).

Na osnovu rezultata (R , RMSE) dobivenih pomoću kinetičkih modela reakcija nultog, prvog i drugog reda, mogu se izvesti sljedeći zaključci:

1. Ukupna promjena boje kod čajnog peciva od **referentnog** brašna najbolje je opisana kinetičkim modelom reakcija nultog reda (iznimka kod donjeg dijela čajnog peciva vlažnog zamjesa gdje je vrijednost koeficijenta korelacije najveća kod reakcija drugog reda linearног oblika). Vrijednost R za površinu čajnog peciva, standardnog zamjesa, iznosila je 0,8045, a za donji dio uzorka 0,9725.
2. Vrijednost koeficijenta korelacije kod čajnog peciva od **cjelovitog** brašna je bila najveća kod reakcija drugog reda linearног oblika, zbog čega se ukupna promjena boje kod ovog uzorka može najbolje opisati sa spomenutim modelom. Vrijednost R za površinu čajnog peciva, standardnog zamjesa, iznosila je 0,1576, a za donji dio uzorka 0,7501.
3. Vrijednost koeficijenta korelacije kod čajnog peciva od brašna tipa **T-400** je bila najveća kod reakcija nultog reda, zbog čega se ukupna promjena boje kod ovog uzorka može najbolje opisati sa ovim redom reakcija. Vrijednost R za površinu čajnog peciva, standardnog zamjesa, iznosila je 0,8638, a za donji dio uzorka 0,9789.
4. Ukupna promjena boje kod čajnog peciva od brašna tipa **T-550** najbolje je opisana kinetičkim modelom reakcija drugog reda linearног oblika za površinu čajnog peciva, dok je za donji dio prikladniji kinetički model reakcija nultog reda. Vrijednost R za površinu čajnog peciva, standardnog zamjesa, iznosila je 0,7430, a za donji dio uzorka 0,9278.
5. Ukupna promjena boje kod čajnog peciva od brašna tipa **T-850** najbolje je opisana kinetičkim modelom reakcija drugog reda linearног oblika, sa iznimkom za donji dio čajnog peciva standardnog i suhog zamjesa gdje je najveća vrijednost R očitana kod reakcija prvog reda linearног oblika. Vrijednost R za površinu čajnog peciva, standardnog zamjesa, iznosila je 0,6350, a za donji dio uzorka 0,9141.
6. Vrijednost koeficijenta korelacije kod čajnog peciva od brašna tipa **T-1100** je bila najveća kod reakcija drugog reda linearног oblika, zbog čega se ukupna promjena boje kod ovog uzorka može najbolje opisati sa ovim redom reakcija. Vrijednost R za površinu čajnog peciva, standardnog zamjesa, iznosila je 0,3412, a za donji dio uzorka 0,8146.
7. Usporedbom svih tipova brašna, za brašno sa većim udjelom pepela (cjelovito, T-850, T-1100) najčešće odgovara kinetički model reakcija drugog reda linearног oblika, dok zabrašno sa manjim udjelom pepela (referentno, T-400, T-550) najčešće odgovaraju kinetički modeli reakcija nultog reda.

6. LITERATURA

1. **Capuano, E., Ferrigno, A., Acampa, I., Ait-Ameur, L., Fogliano, V.**: Characterization of the Maillard reaction in bread crisps. *European Food Research Technology*. 228: 311–319, 2008.
2. **Du, C.-J., Sun, D.-W.**: Recent developments in the applications of image processing techniques for food quality evaluation. *Trends in Food Science & Technology*. 15:230–249, 2004.
3. **Hsien-Che, L.**: *Introduction to Color Imaging Science*. Cambridge University Press, New York, 2005.
4. **Lukinac-Čačić, J.**: Matematičko modeliranje i optimiranje kinetike promjene boje kruha tijekom pečenja. *Doktorski rad*. Prehrambeno-tehnološki fakultet, Osijek, 2012.
5. **Magdić, D., Lukinac, J., Jokić, S., Čačić Kenjerić, F., Bilić, M., Velić, D.**: Impact analysis of different chemical pre-treatments on colour of apple discs during drying process. *Croatian Journal of Food Science and Technology*. 1:31–35, 2009.
6. **Martins, S.I.F.S., Jongen, W.M.F., van Boekel, M.A.J.S.**: A review of Maillard reaction in food and implications to kinetic modeling. *Trends in Food Science & Technology*. 11:364–373, 2001.
7. **Pletney, V.N.**: *Focus on Food Engineering Research and Developments*. Nova Science Publishers, Inc., New York, 2007.
8. **Pomeranz, Y., Meloan C.E.**: Measurement of color. In: *Food Analysis: Theory and Practice*. Y.M.C.E. Pomeranz. (ur.), New York. 87–98, 1994.
9. **Pravilnik o keksima i keksima srodnim proizvodima, NN br. 73**, 2005.
10. **Pravilnik o žitaricama, mlinskim i pekarskim proizvodima, tjestenini, tjestenu i proizvodima od tijesta, NN br. 78.**, 2005.
11. **Puglia, S.**: Technical Primer U *Handbook for Digital Projects: A Management Tool for Preservation and Access* Maxine K. Sitts.(ur.) Northeast Document Conservation Center, 2000.
12. **Purlis, E., Salvadori, V.O.**: Modelling the browning of bread during baking. *Food Research International*. 42:865–870, 2009c.
13. **Yam, K.L., Papadakis, S.E.** A simple digital imaging method for measuring and analyzing color of food surfaces. *Journal of Food Engineering*. 61:137–142, 2004.
14. **Zhang ,L., Lucas, T., Doursat, C., Flick, D. , Wagner, M.** Effects of crust constraints on bread expansion and CO₂ release. *Journal of Food Engineering*. 80:1302–1311, 2007.